

Genetiikan perusteiden toisen jakson kaavailua

Tiedämme *kaiken* siitä, miten geenit siirtyvät sukupolvelta seuraavalle solun ja yksilön tasolla

Toisen jakson sisältö:

Mitä geenit ovat?

Miten geenit toimivat?

Mikä tai kuka uskaltaa vainota ja käyttää hyväksi geenitoiminnasta syntynyttä kovin pätevää yksilöä?

Patogeenit

CELL kappale 24

Pedot

Leijonat, karhut, sudet jne., ja tietenkin toiset ihmiset

Loiset

Monisoluiset eukaryootit: madot, punkit, hyönteiset

Sienet: hiivat, silsat, sienet (kts [lepakon valkosenäsyndrooma](#))

Protistat (= yksisoluiset eukaryootit), esimerkiksi malaria, bilhartsia, toksoplasma, unitauti

Bakteerit miljoonaisina laumoina

Virukset

Prionit (BSE)

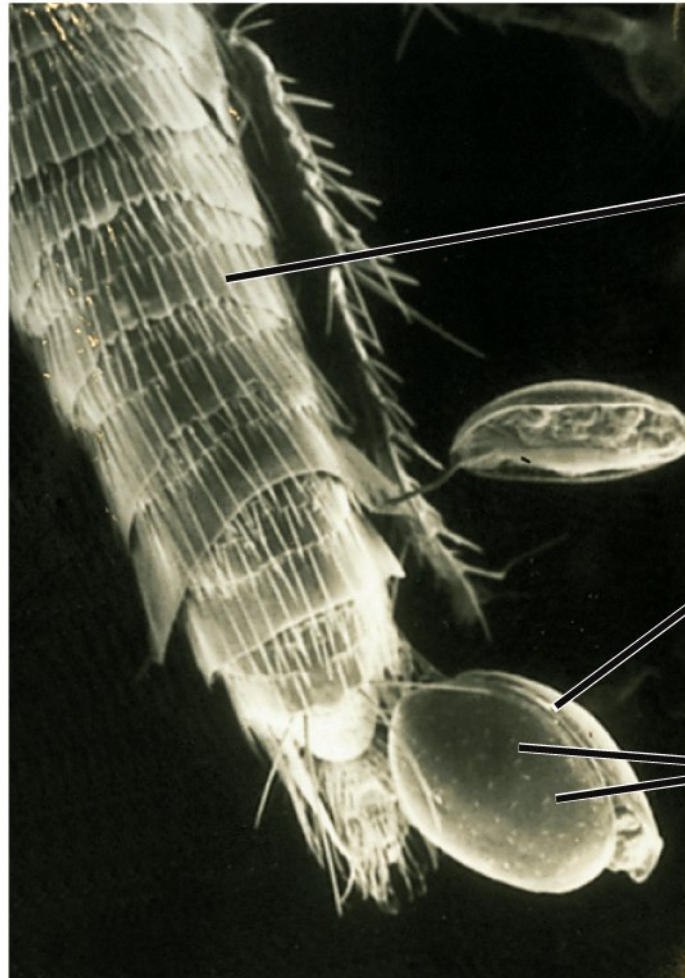
Ihmisen luonnollisten kuolinsyiden edustaja





(A)

0.2 mm



leg of flea

mite

bacteria
on mite

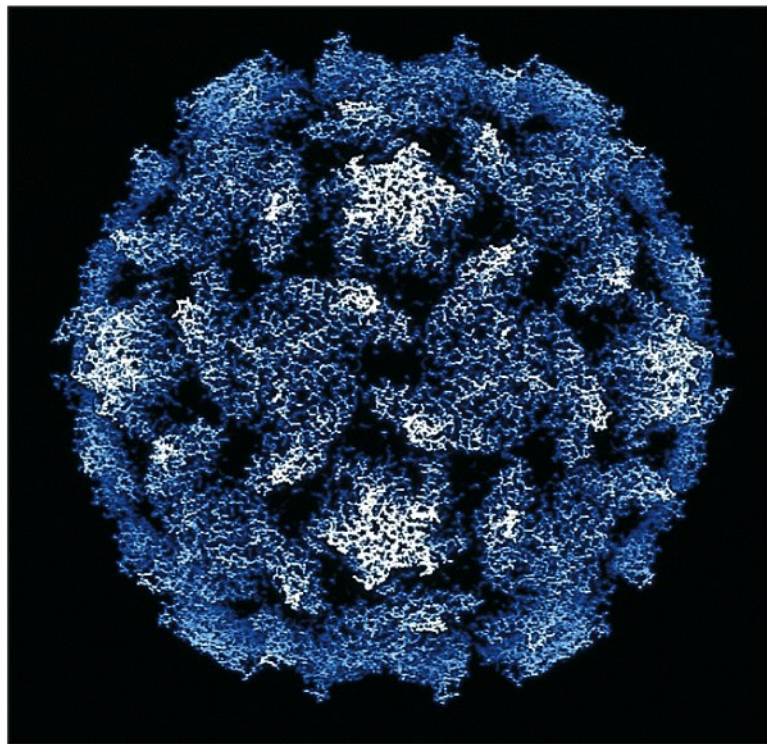
(B)

Figure 24-1 Molecular Biology of the Cell 5/e (© Garland Science 2008)

Niveljalkaisvektorit kuljettavat lukemattomia patogeeneja

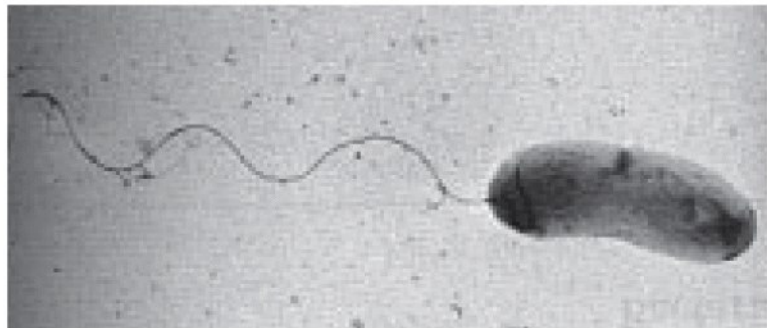


Niveljalkaisvektorit kuljettavat lukemattomia patogeeneja



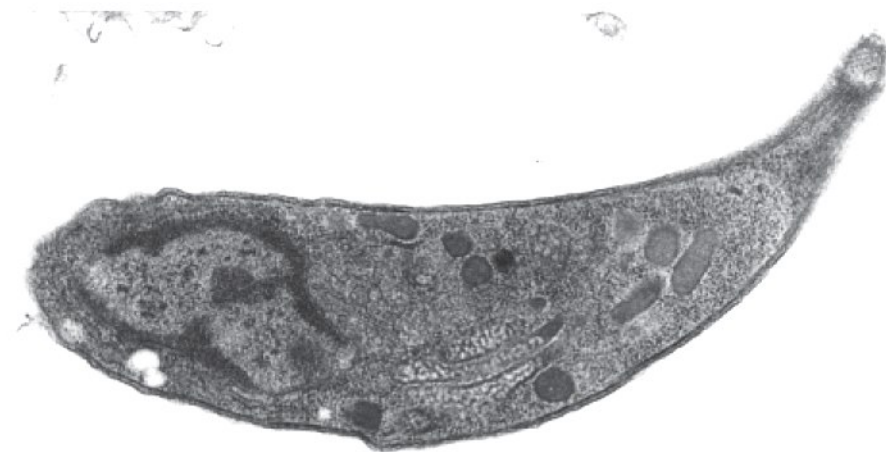
(A)

10 nm



(B)

1 μm



(C)

1 μm



(D)



Coccus



Coccobacillus



Vibrio



Bacillus

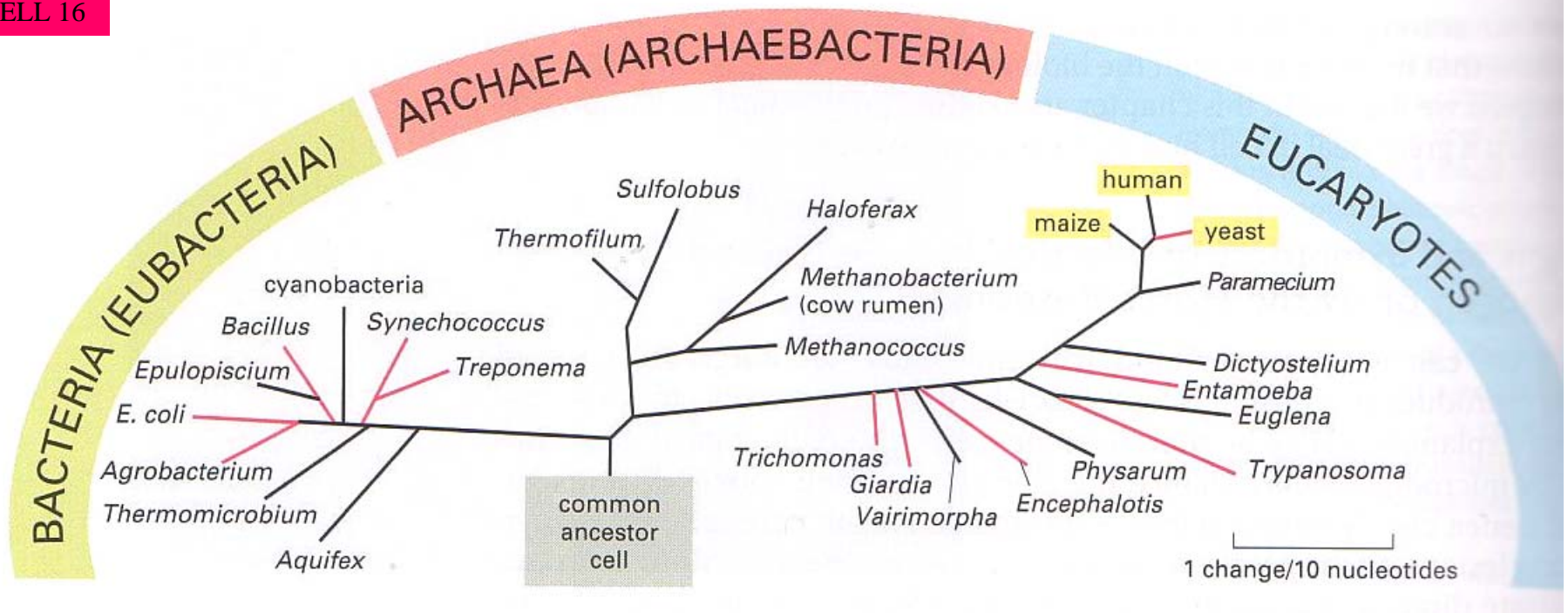


Spirillum



Spirochete

Figure 24-4a Molecular Biology of the Cell 5/e (© Garland Science 2008)



Patogeenien fylogeneettinen diversiteetti (punaiset haarat)

Arkit ovat aivan viattomia?

Tästä kuvasta puuttuvat vielä virukset, joita ei voida sijoittaa fylogeneettisiin puuihin. Ne lienevät jostakin karanneista geenejä, mutta niin spesialisoituneita, ettei lähtökohtia osata hahmottaa

Patogeeni sairautta aiheuttava

- obliigaatti
- fakultatiivinen
- opportunistinen

Virulenssi sairastuttamis- tai tarttumiskyky

Toksiini myrkky

Malaria 2 milj/vuosi

Plasmodium falciparum

Anopheles gambiae

Sekä loisio että vektori sekvensoitiin kokonaan vuonna 2002, siinä toivossa että asialle voitaisiin tehdä jotakin

Loisio on entinen levä: sen tietty plasmidi on monikalvoinen sekundaarinen kloroplasti

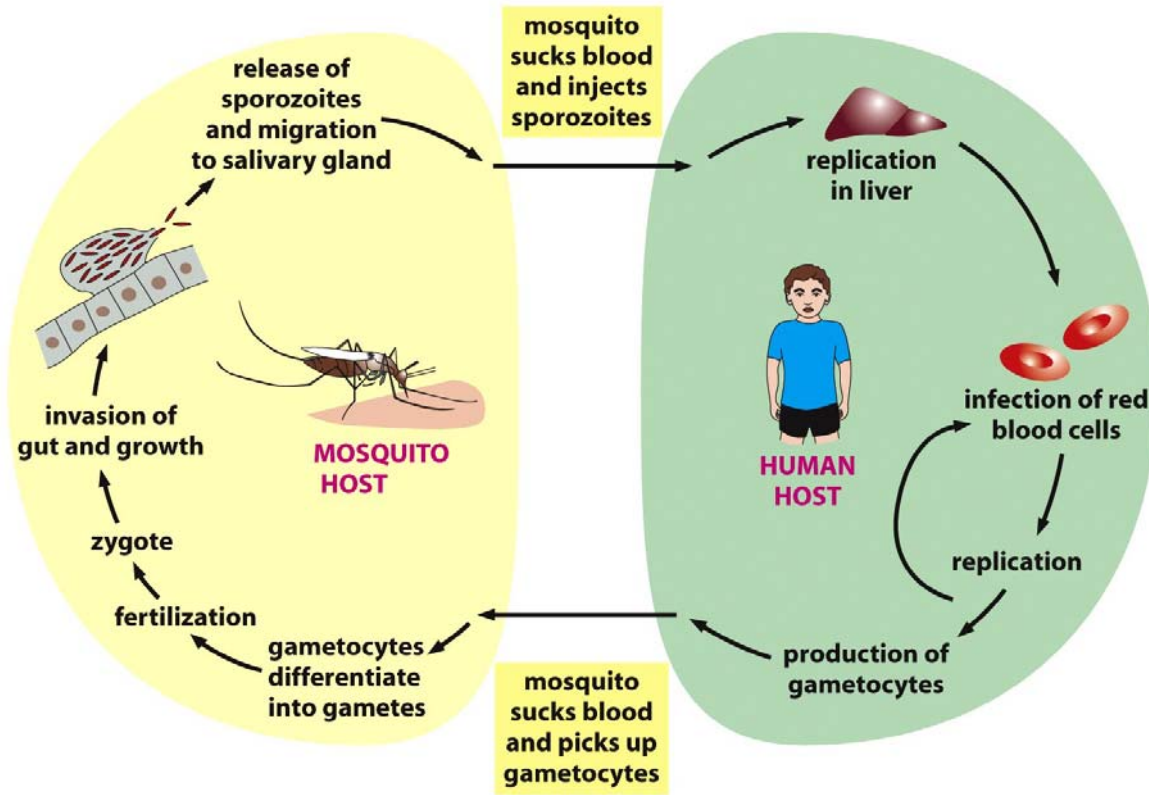


Figure 24-10a Molecular Biology of the Cell 5/e (© Garland Science 2008)

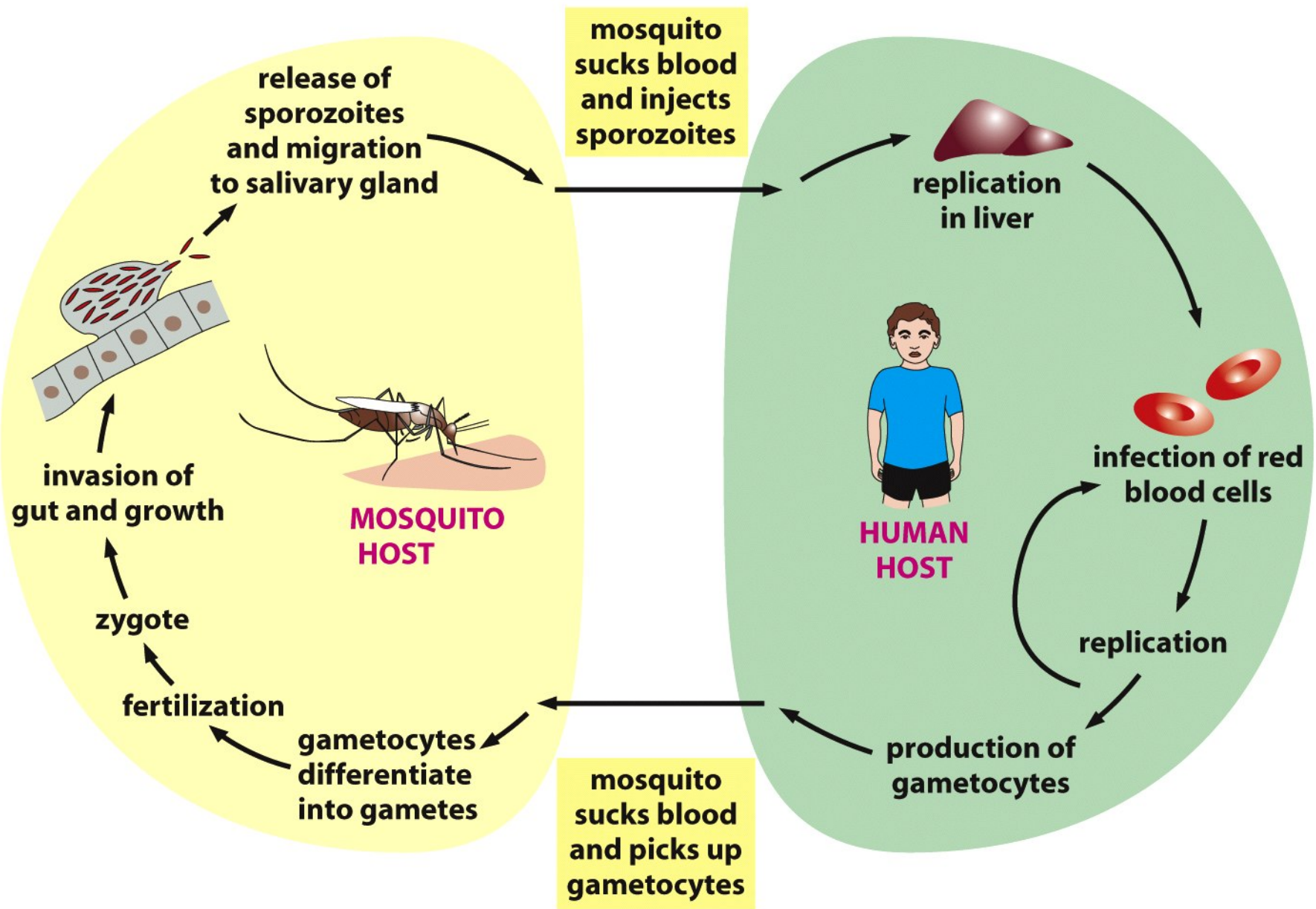
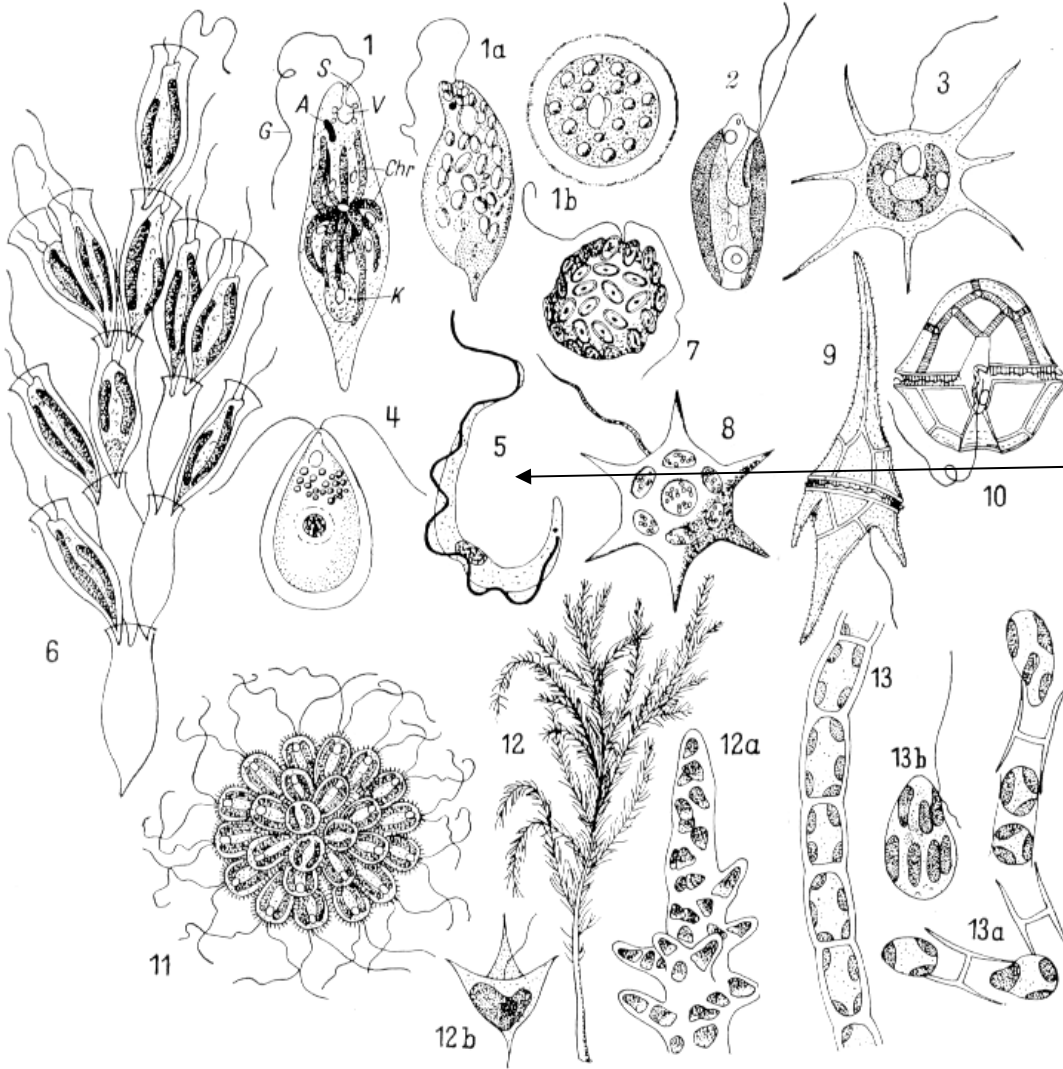


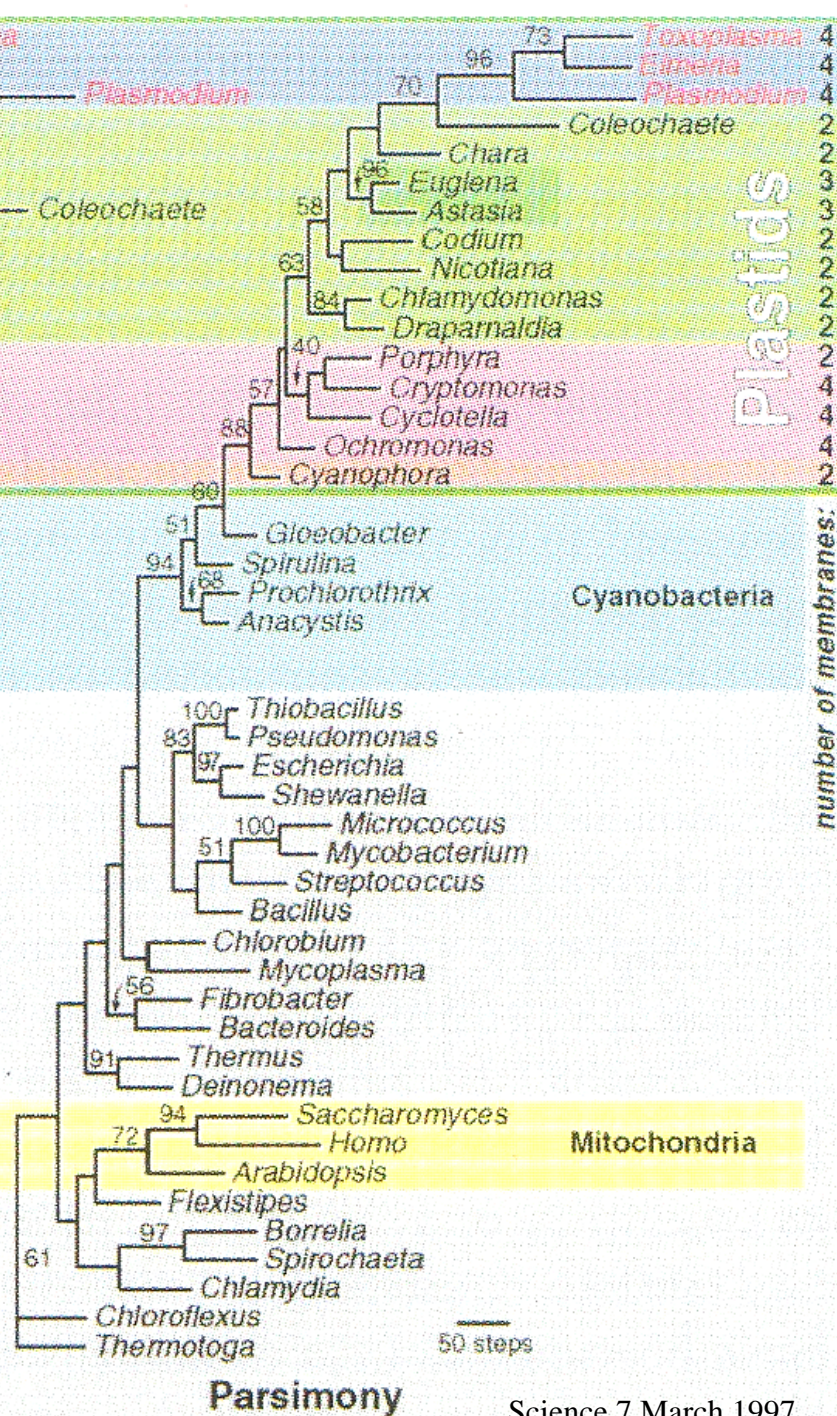
Figure 24-10a Molecular Biology of the Cell 5/e (© Garland Science 2008)



Trypanosoma

Abb. 107. Verschiedene Flagellatentypen: 1 *Euglena* (K Kern, Chr grüne Chromatophoren, A Augenfleck, V pulsierende Vakuole, S Schlundspalte, G Geißel), 1a dieselbe mit Paramykonkörnern, 1b dieselbe im Palmella-Zustand; 2 *Cryptomonas*, zweigeißeliger Flagellat mit olivgrünen (braungrünen) Chromatophoren; 3 *Chrysamoeba* mit amöboiden Kriechbewegungen; 4 *Polytoma*, farbloser Flagellat mit Zellwand; 5 *Trypanosoma*, parasitäre, farblose Form mit undulierender Membran; 6 *Dinobryon*, Zellen in Gehäusen zu Kolonien vereinigt; 7 *Calyptrosphaera* (Coccolithinae) mit Kalkausscheidungen; 8 *Distephanus* (Silicoflagellatae) mit Kieselskelett, 9 *Ceratium* und 10 *Peridinium* mit Panzer aus Zelluloseplatten (Peridinea); 11 *Synura*, einfache Kolonie; 12 *Hydrurus*, Kolonie aus verzweigten Gallertfäden, 12a das Ende eines Fadens stärker vergrößert, 12b bewegliches Schwärmerstadium; 13 *Conferva* (= *Tribonema*), eine Fadenalge, 13a der Faden in H-förmige Zellwandstücke zerfallend und Schwärmer bildend, 13b einzelner Schwärmer mit ungleichen Geißeln (Heterocontae).

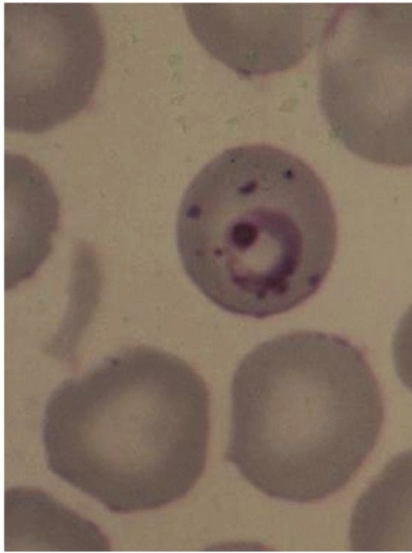
Toxoplasma, Eimeria, Plasmodium



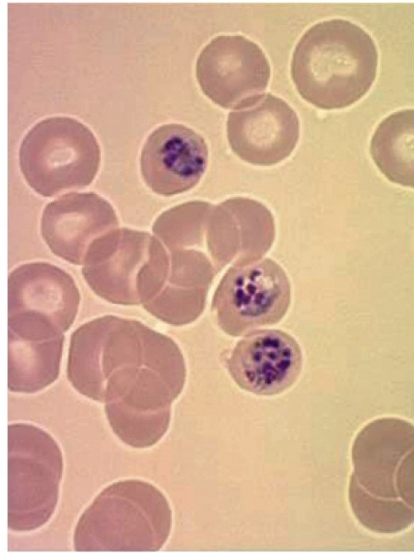
Loiselämään sopeutuneet muodot ovat menettäneet kloroplastin vihreyden kokonaan.

Rakenne kalvoineen on vielä jäljellä ja varmaan tekeekin jotakin

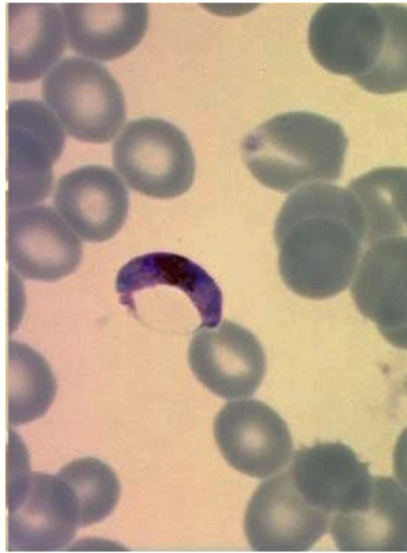
Plastidin neljä kalvoa todistavat sekundaarisesta endosymbioosista



(B) ┌──────────┐
5 μm



(C) ┌──────────┐
10 μm



(D) ┌──────────┐
10 μm

Figure 24-10bcd Molecular Biology of the Cell 5/e (© Garland Science 2008)

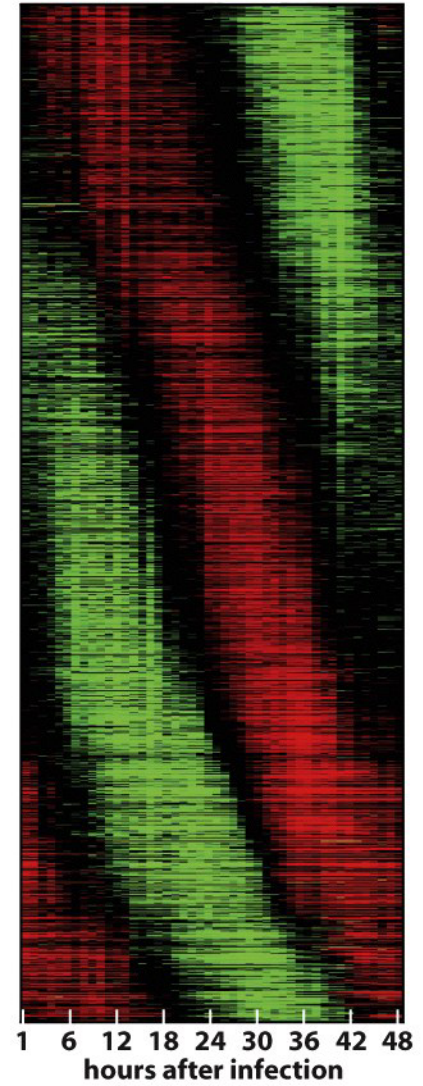
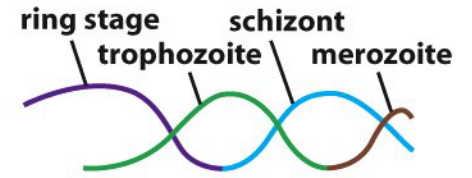


Figure 24-11 Molecular Biology of the Cell 5/e

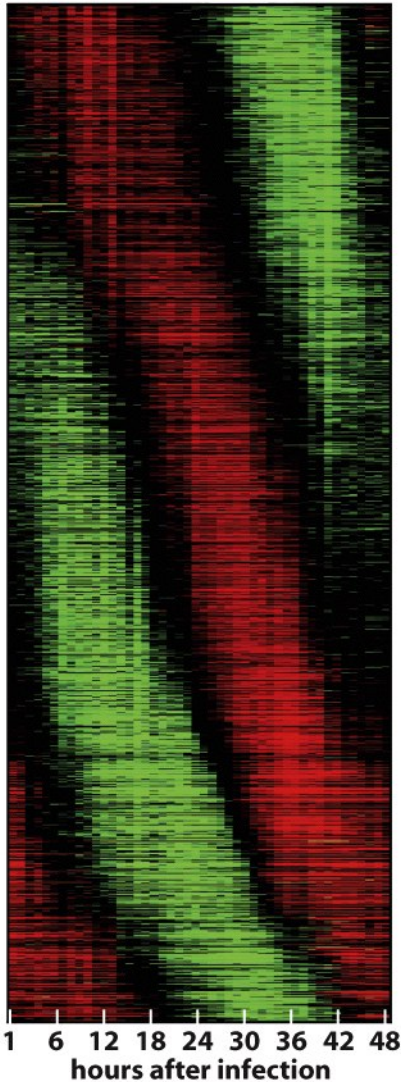
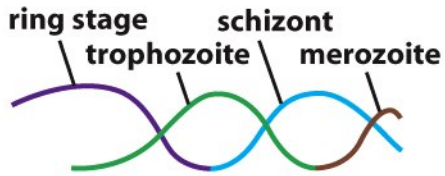
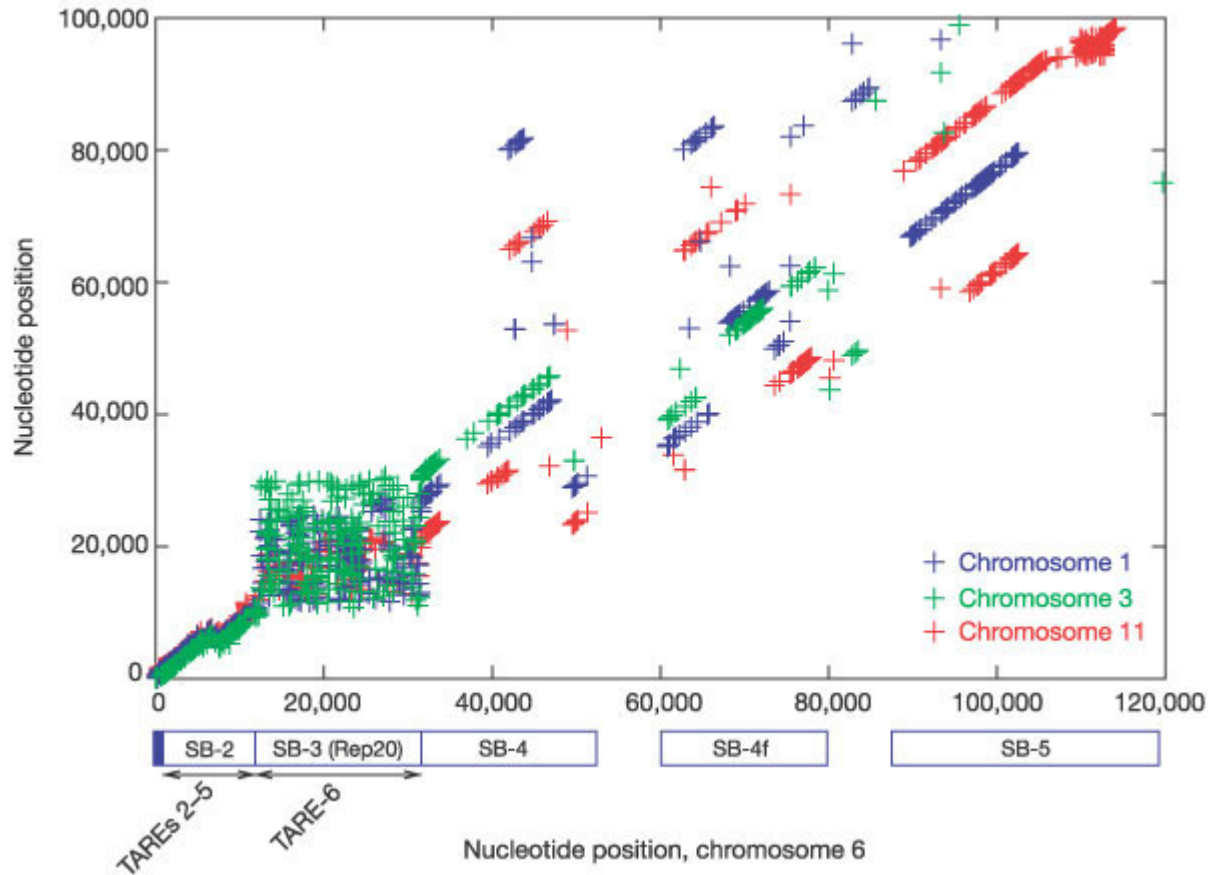


Figure 24-11 Molecular Biology of the Cell 5/e (© Garland Science 2008)

Plasmodium väistää
immuunijärjestelmää
muuttamalla koko ajan. Se
tekee uuden pinnankin
jatkuvasti ja piileskelee
punasoluissa

Rokotetta ei ole

Genomi sekvensoitu,
samoin päävektorin
(*Anopheles gambiae*)



Jotain analyysia *Plasmodiumin* kromosomeista

Nature **419**, 498-511 (3
October 2002)

[LINKKI](#)

Science

4 October 2002

Vol. 298 No. 5591
Pages 1-310 \$10

THE MOSQUITO GENOME
Anopheles gambiae

[Linkki](#)



AMERICAN ASSOCIATION FOR THE ADVANCEMENT OF SCIENCE

*Plasmodium
falciparum*

tärkein vektori on

Anopheles gambiae

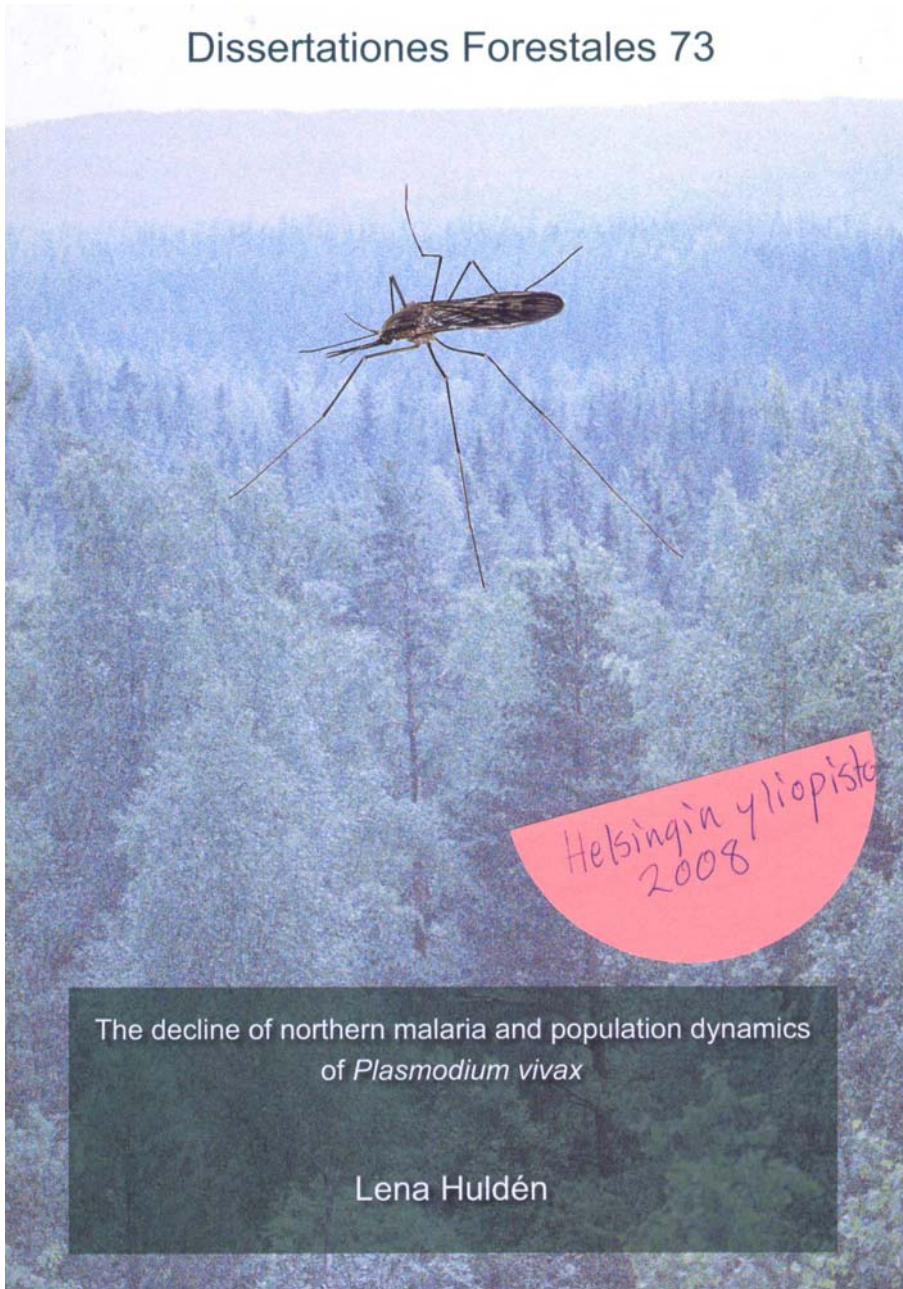
Muita moskiittojen
levittämiä:

Dengue-kuume

Filariasis

Keltakuume

Jap. aivokalvontulehdus



Pohjoisen malarian perikato kuvattiin tässä väitöskirjassa

[LINKKI](#)

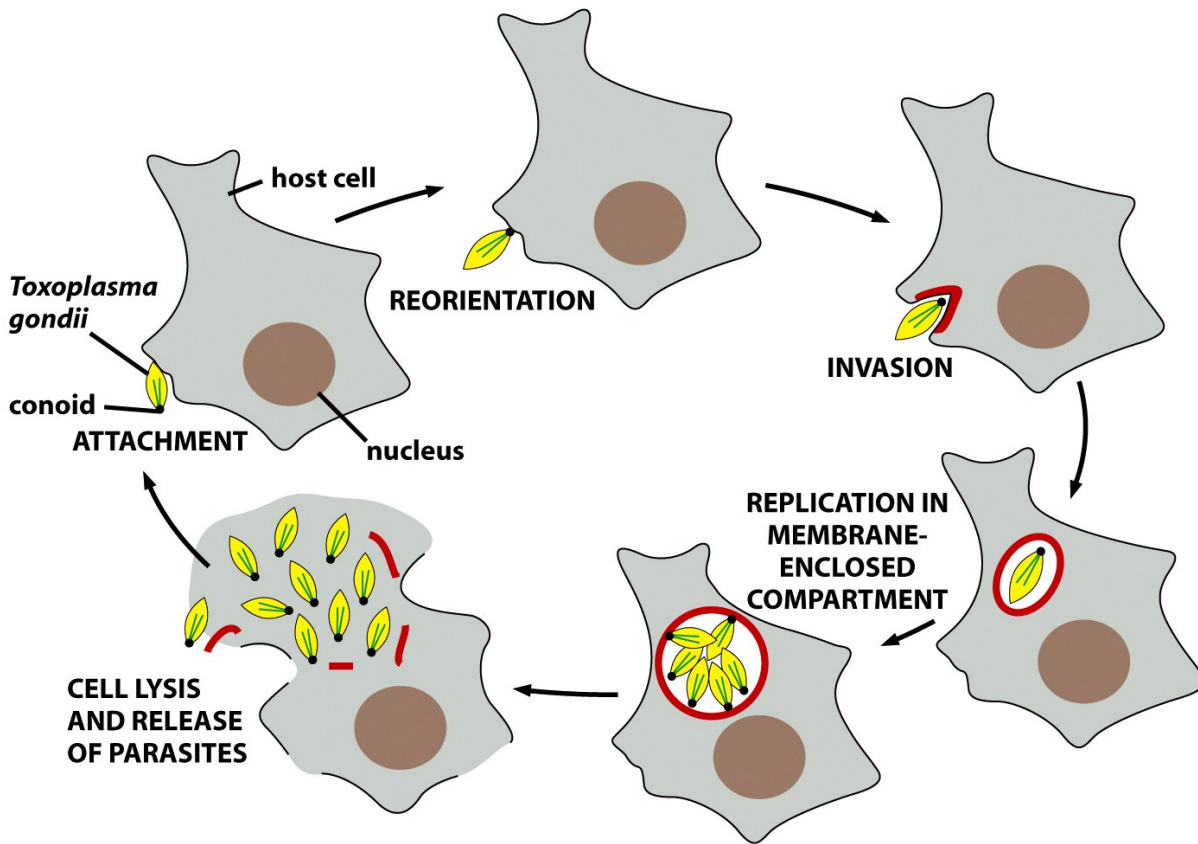


Figure 24-27a Molecular Biology of the Cell 5/e (© Garland Science 2008)



Figure 24-27b Molecular Biology of the Cell 5/e (© Garland Science 2008)

Toxoplasma gondii

CELL 1510

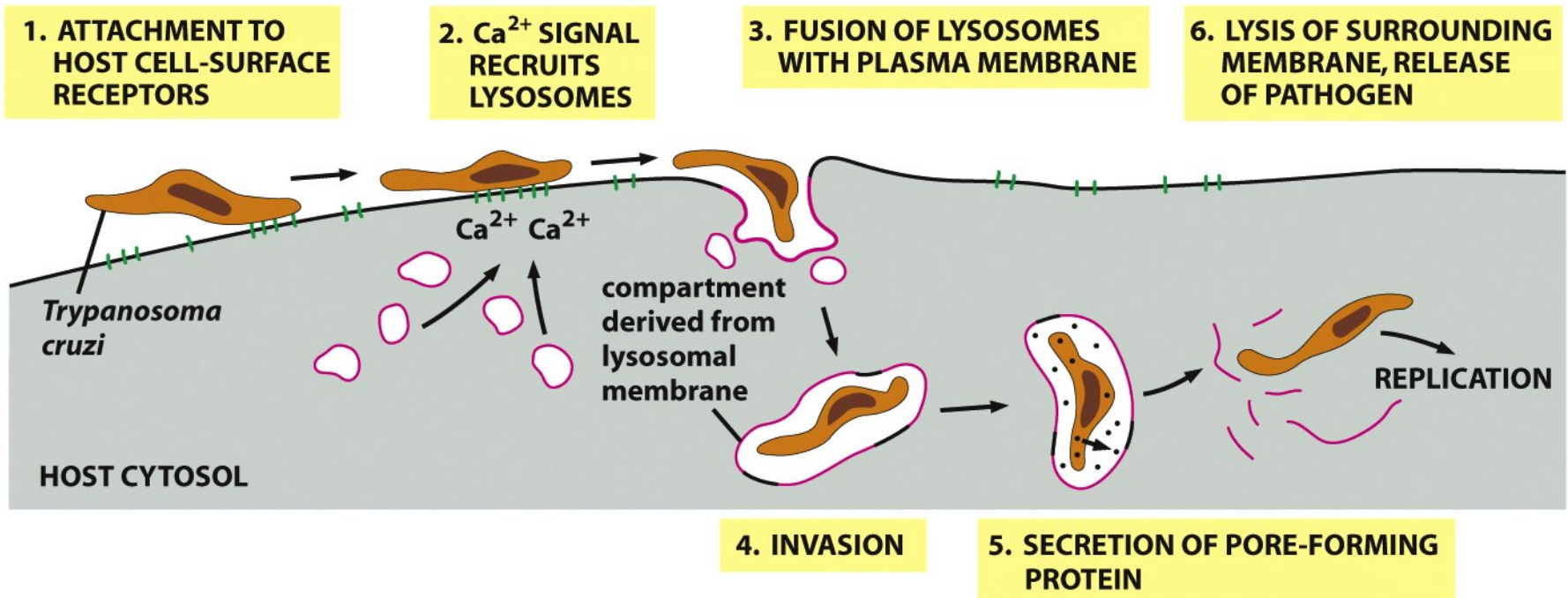


Figure 24-28 Molecular Biology of the Cell 5/e (© Garland Science 2008)

Trypanosoma brucei

CELL 1510

Microsporidium

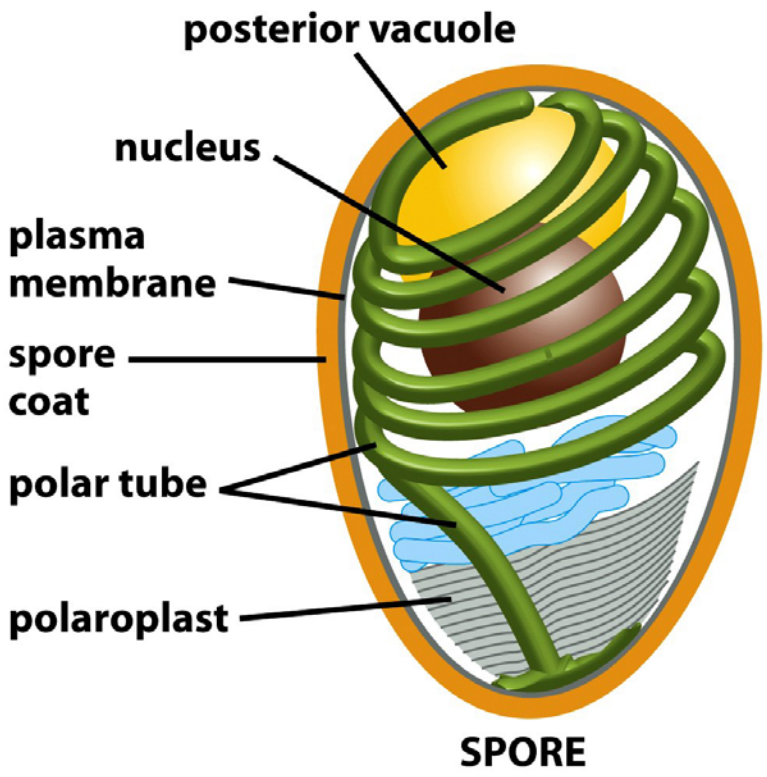


Figure 24-29a Molecular Biology of the Cell 5/e (© Garland Science 2008)

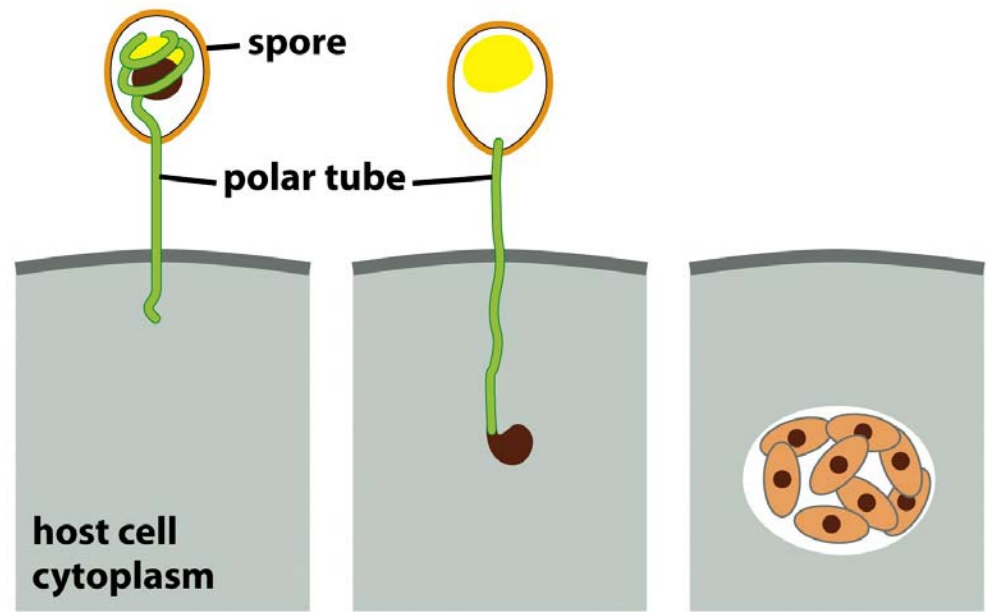


Figure 24-29b Molecular Biology of the Cell 5/e (© Garland Science 2008)

CELL 1511



Valkonenätauti

Fig. 1. (A) A little brown bat, found in Howes Cave on 6 January 2008, exhibits white fungal growth on its muzzle, ears, and wings. (B) Fungal invasion of bat skin (periodic

Virukset

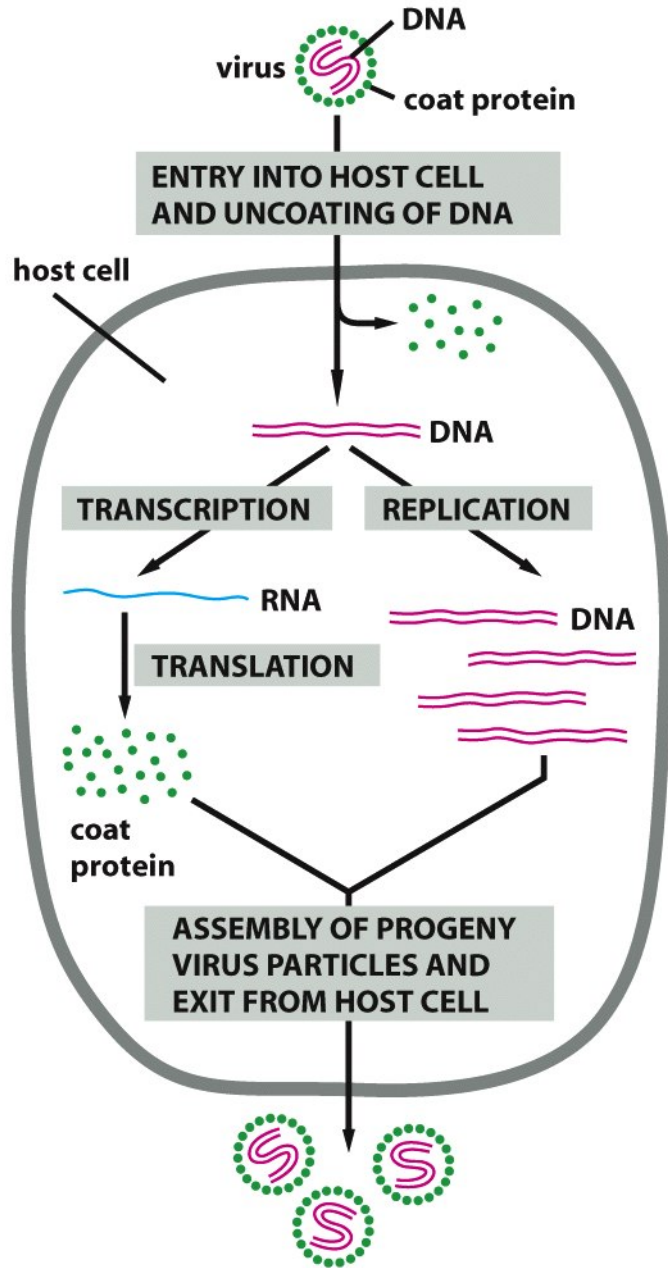


Figure 24-12 Molecular Biology of the Cell 5/e (© Garland Science 2008)

Simppelin viruksen elämänsykli

Virukset käyttävät isäntäsolujen geneettistä koneistoa omien monistumistarpeidensa tyydyttämiseen

Myös rekombinaatiossa isännän pitää auttaa

Lisäksi isäntä joutuu jelpimään viruksen uusiin isäntiin, sen se usein tekee mielellään

Viruksella ei ole syytä tappaa!
Sairaus on ihan *collateraalidamagea*

single-stranded RNA

tobacco mosaic virus
bacteriophage R17
poliovirus



single-stranded DNA

parvovirus



double-stranded circular DNA

SV40
papilloma viruses



double-stranded RNA

reovirus



single-stranded circular DNA

M13
 ϕ 174 bacteriophages
circovirus



double-stranded DNA

T4 bacteriophage
herpes viruses



double-stranded DNA with each end covalently sealed

poxvirus



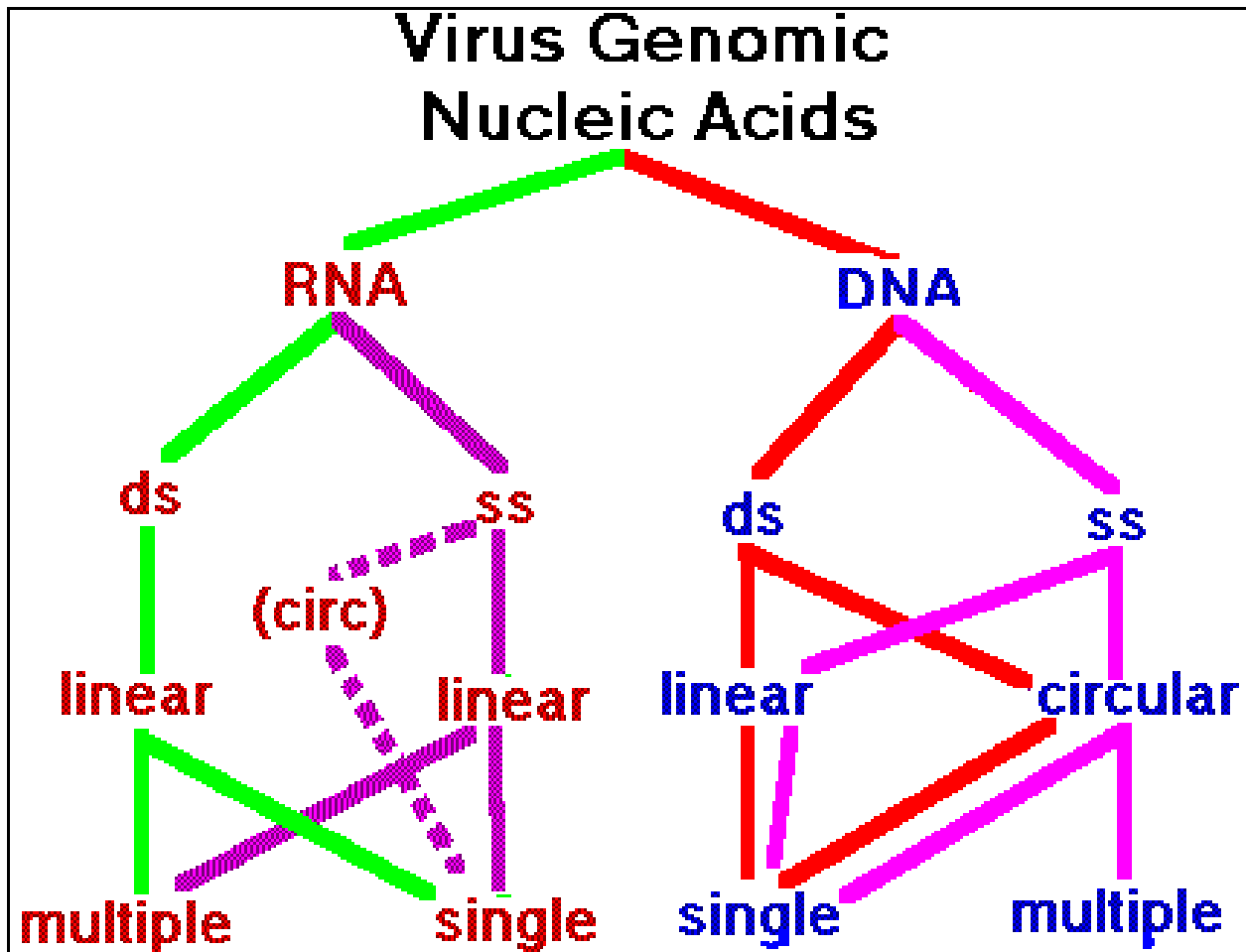
double-stranded DNA with covalently linked terminal protein

adenovirus

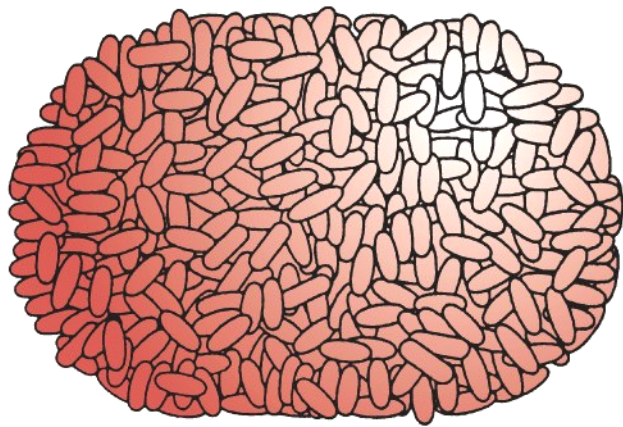


Figure 24-14 Molecular Biology of the Cell 5/e (© Garland Science 2008)

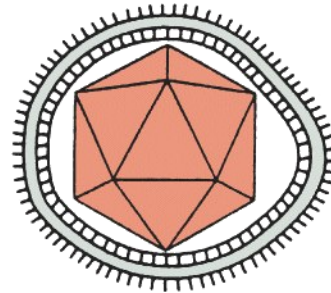
Virukset voivat pakata geeninsä lukuisiin eri nukleiinihappomuotoihin, mutta geeni tai muutamia niillä on.



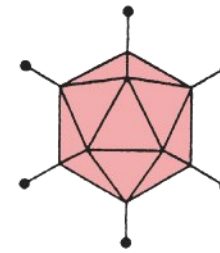
Virusten geneettinen materiaali voi olla monissa eri muodoissa



poxvirus



herpesvirus



adenovirus



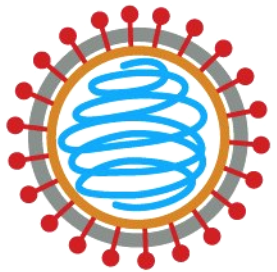
papilloma virus



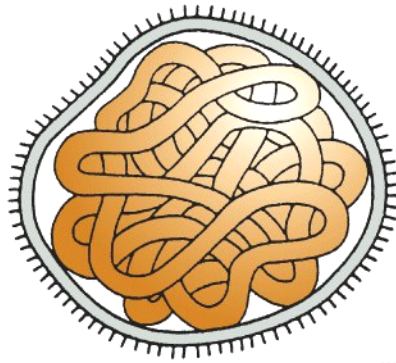
parvovirus

100 nm

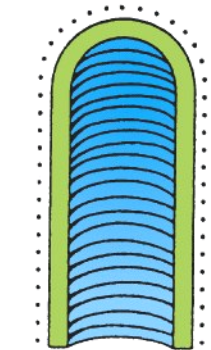
DNA VIRUSES



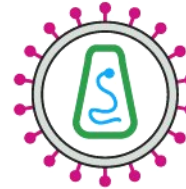
influenza virus



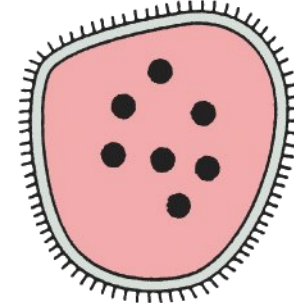
mumps virus



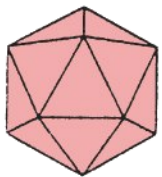
rabies virus



**HIV
(AIDS virus)**



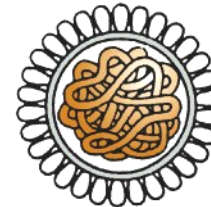
LCM virus



rotavirus



**eastern equine
encephalitis virus**



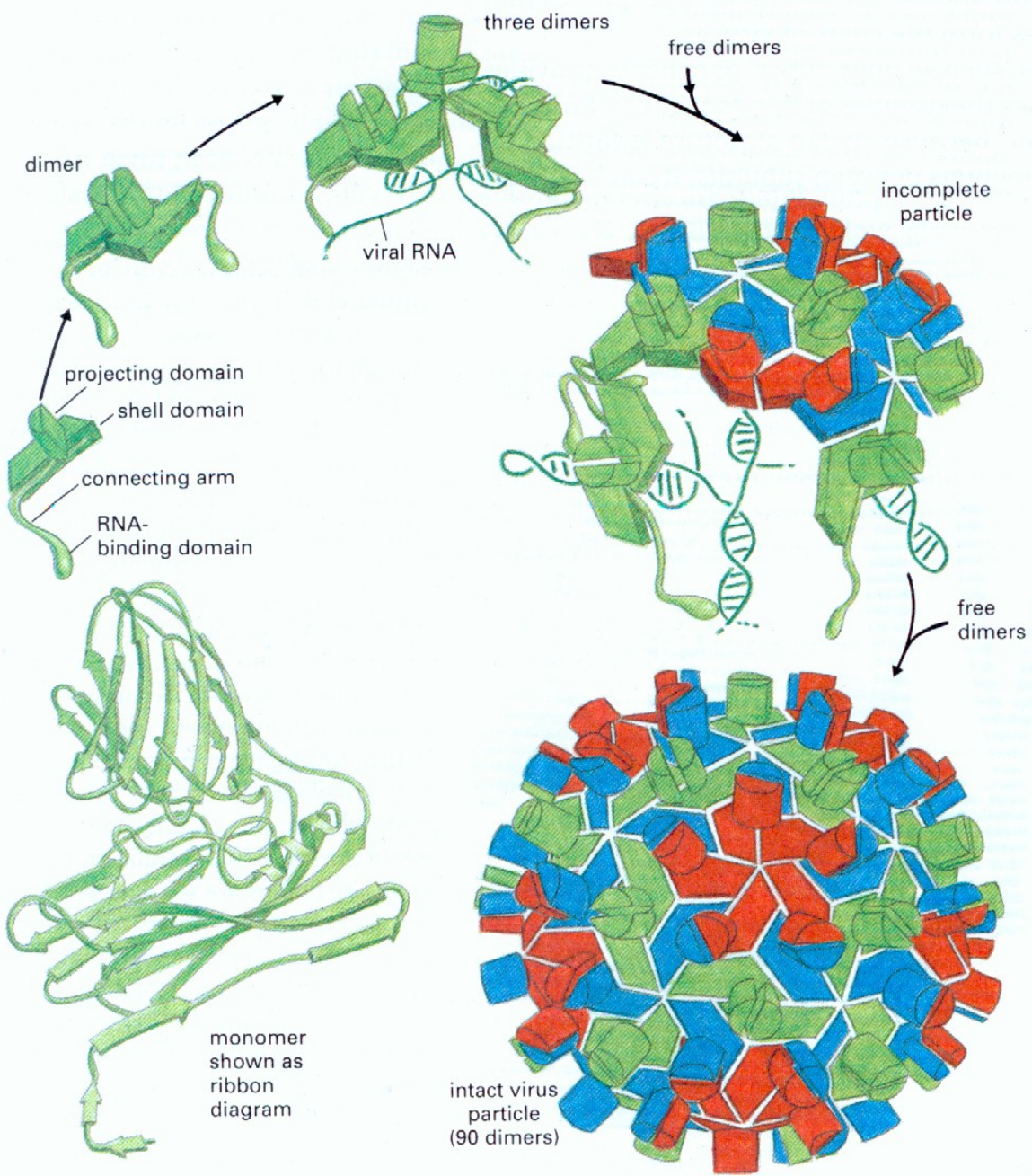
**corona virus
(common cold)**



poliovirus

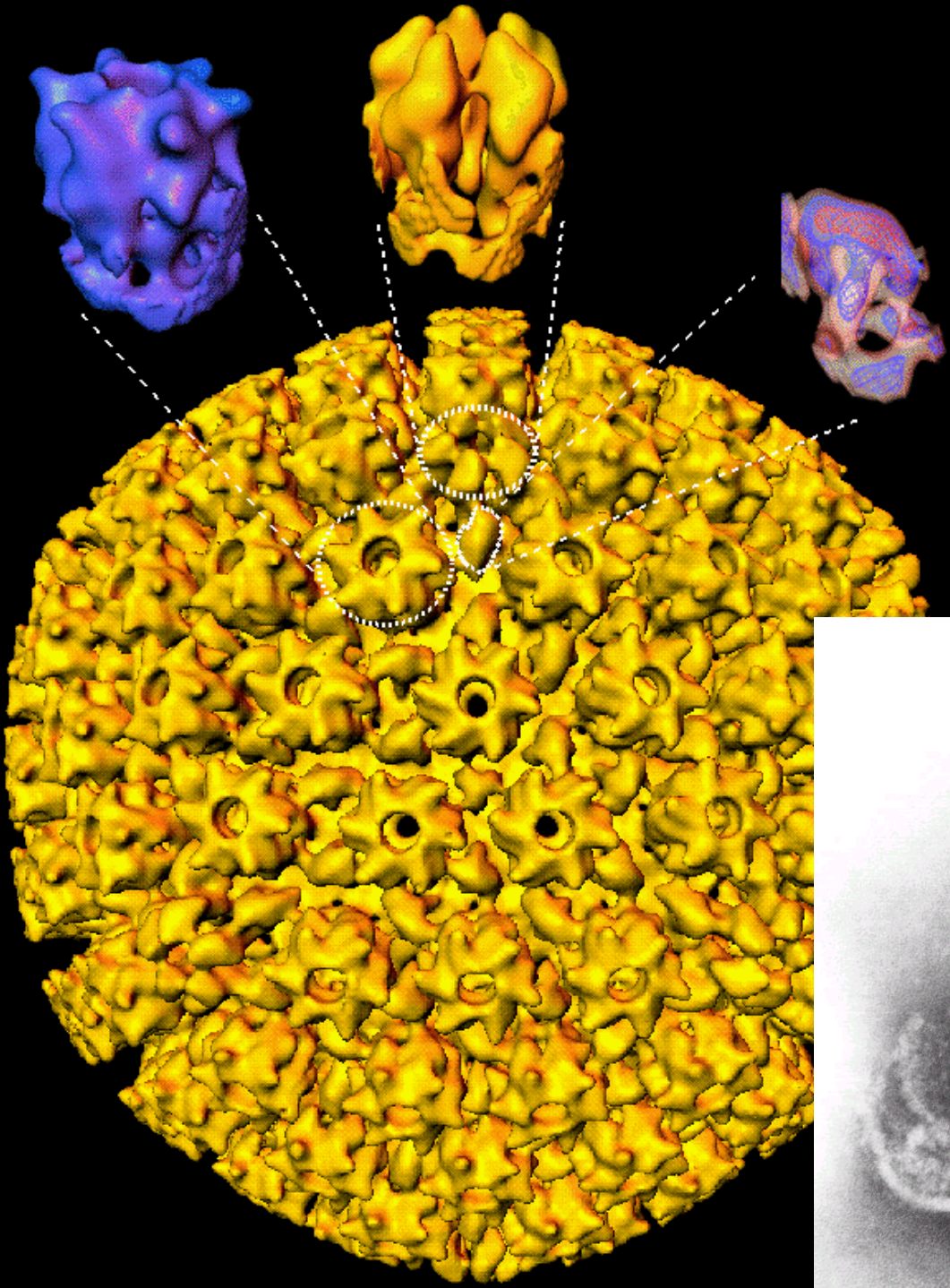
RNA VIRUSES

Figure 24-13 Molecular Biology of the Cell 5/e (© Garland Science 2008)



Virukset rakentavat kuorensa yksinkertaisista toistuvista osista

Kuoressa säästetään genejä toistamalla samaa motiivia

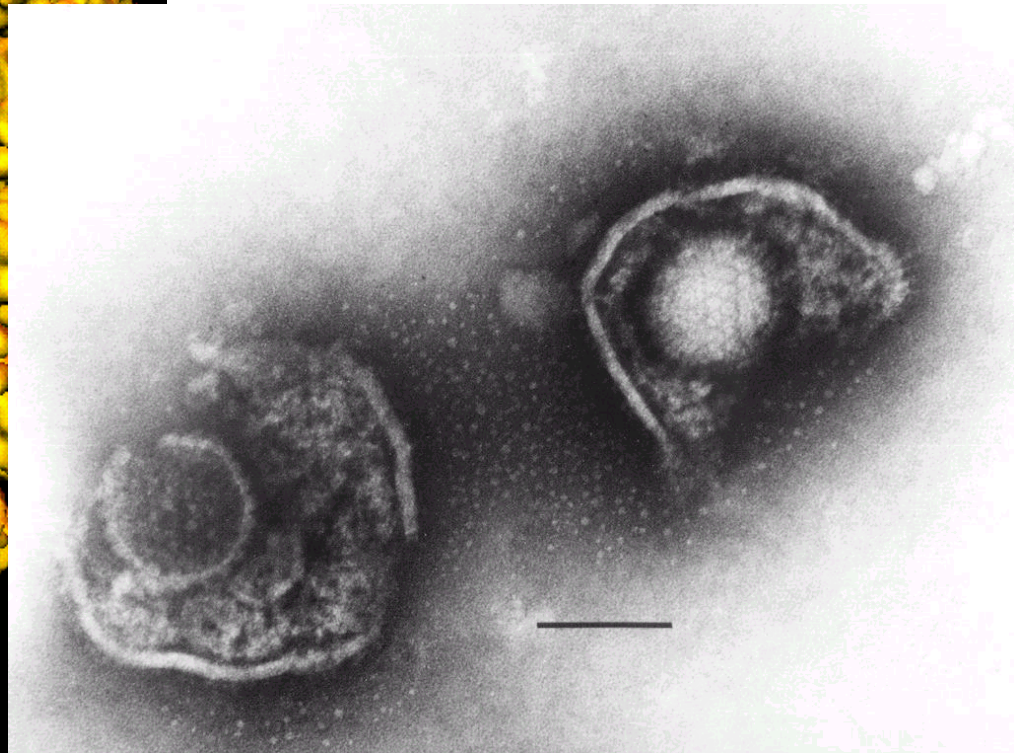


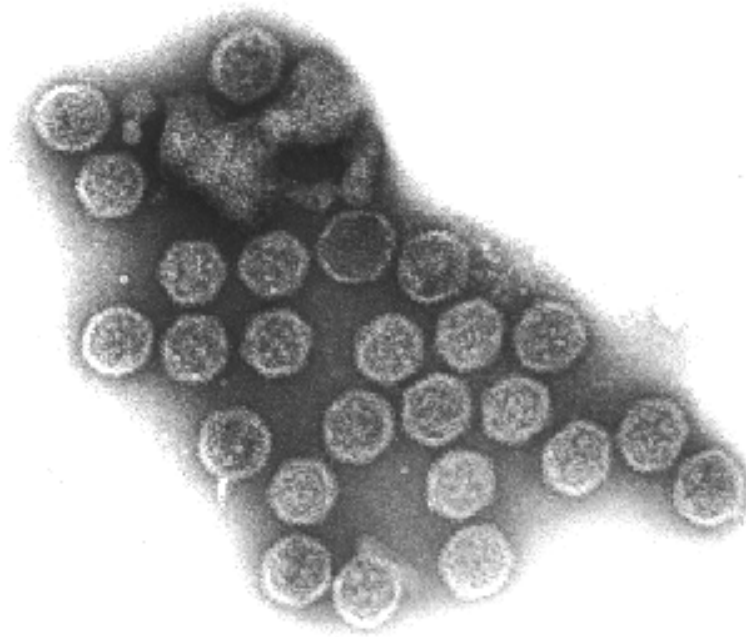
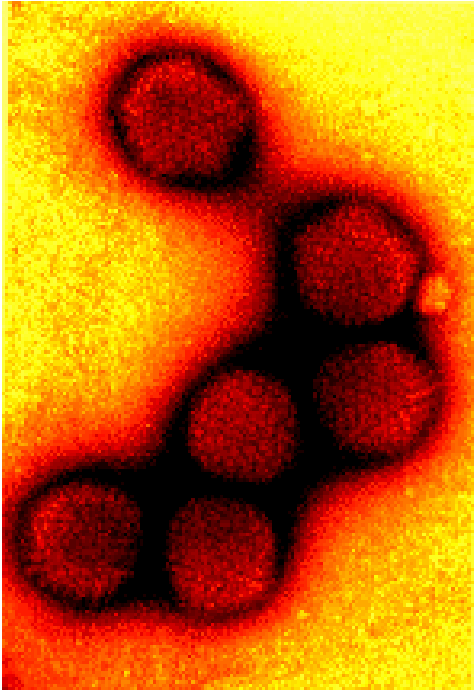
DNA-virus *Herpes simplex*

lineaarinen 2-juosteinen DNA

120 kb- 220 kb

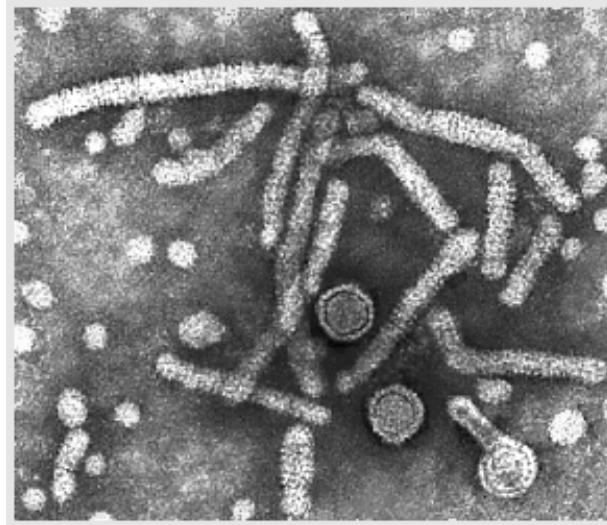
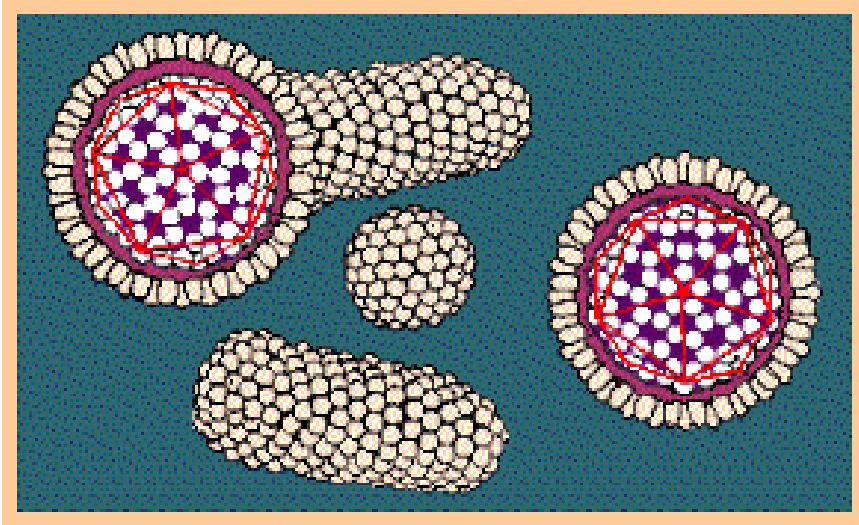
enveloped





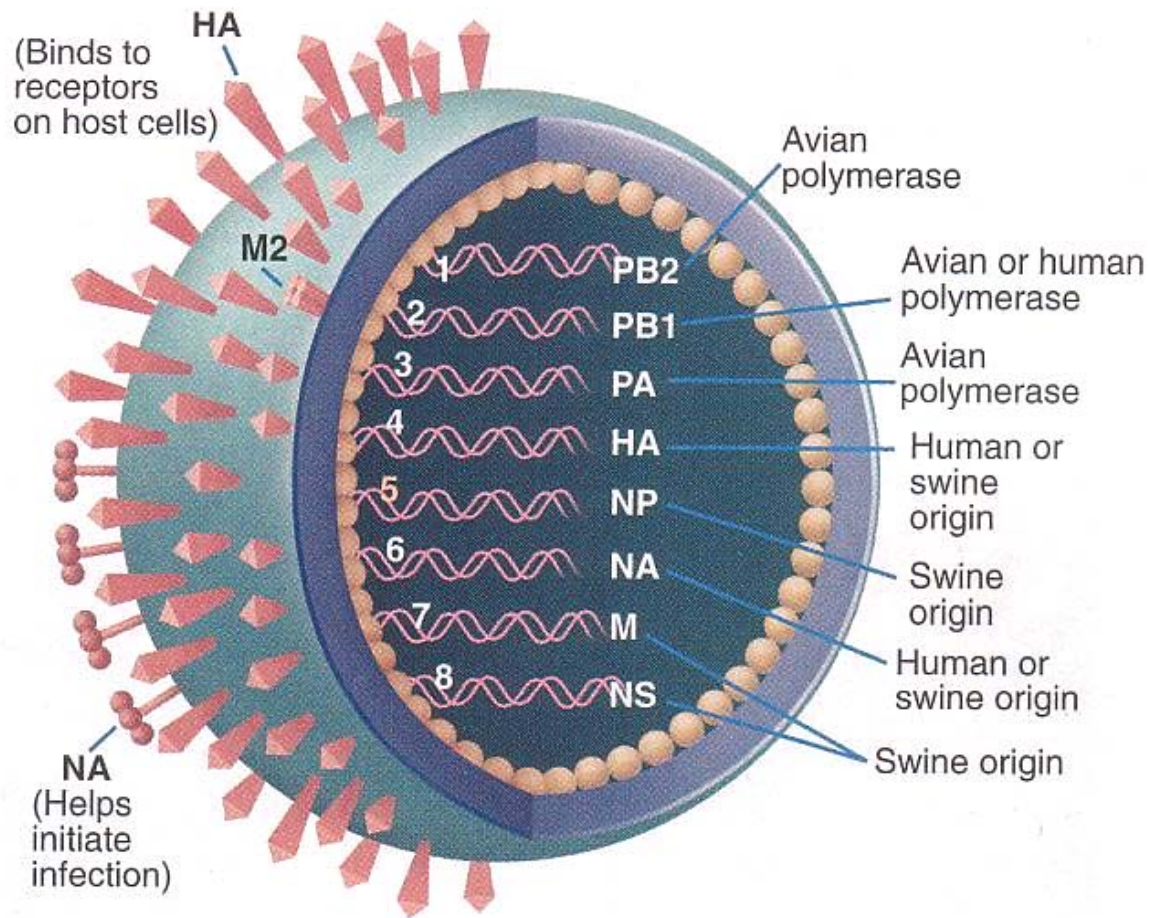
Adenovirus

DNA ds non-enveloped



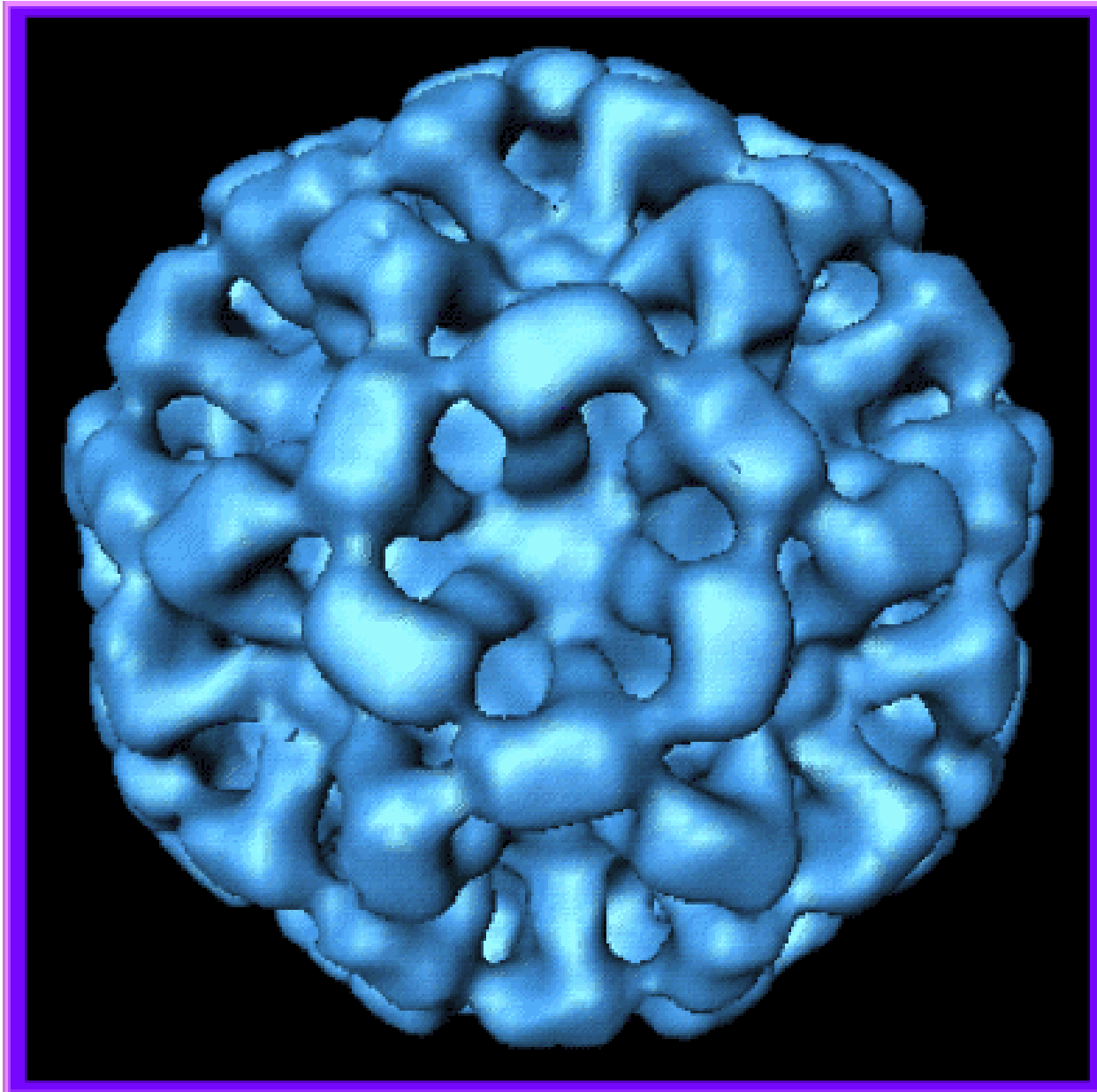
Hepatitis B

Hepadnavirus, DNA ds/ss, enveloped

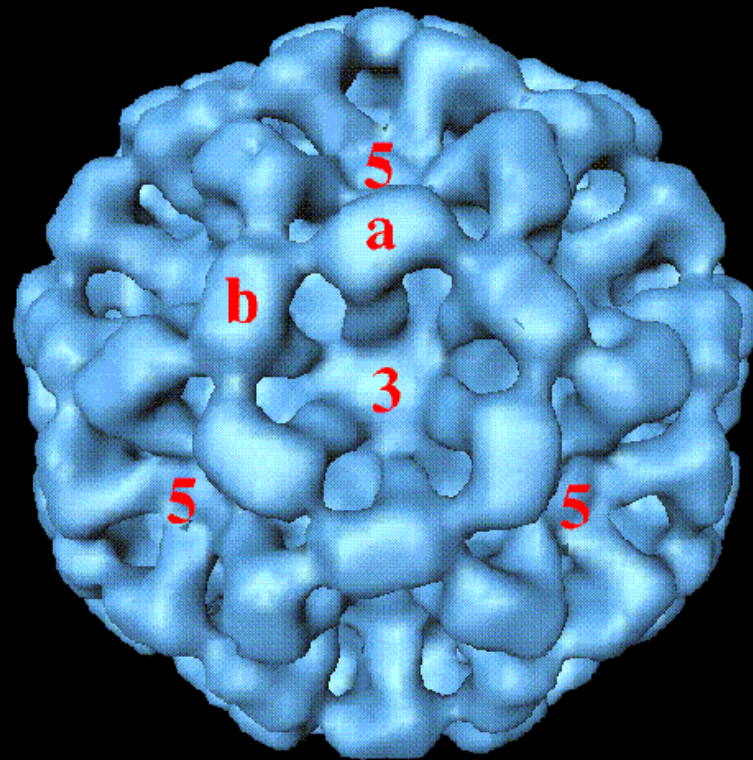


New flus. The influenza viruses now found in North American pigs have genes from both human and bird viruses.

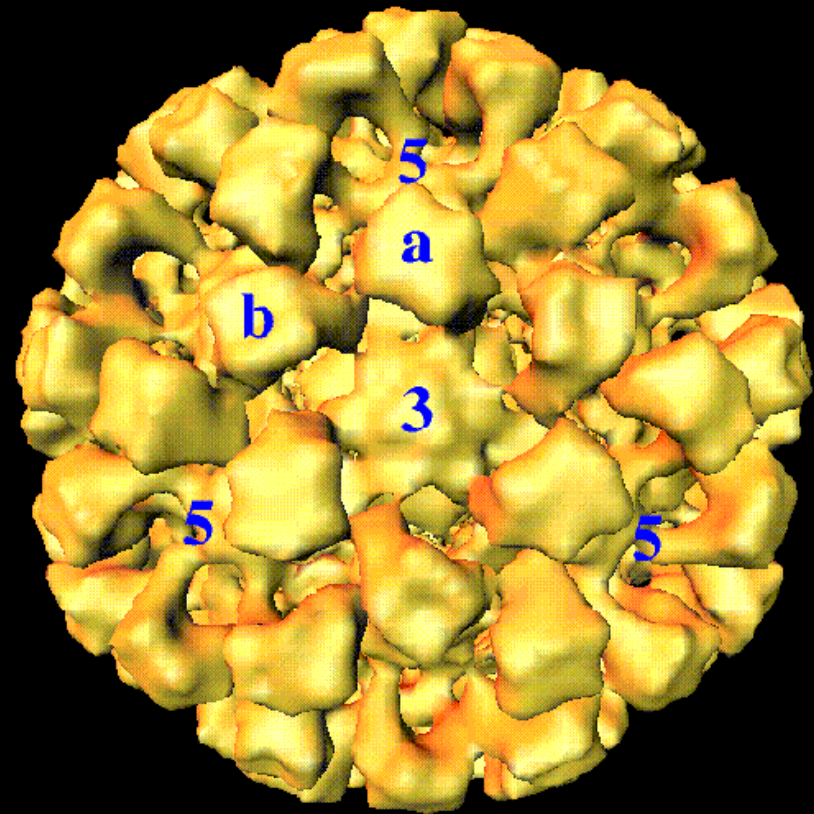
Uusi sikafnunssa USA:ssa: Science 7 March 2003



Kalikiviruksen kaunis kuori

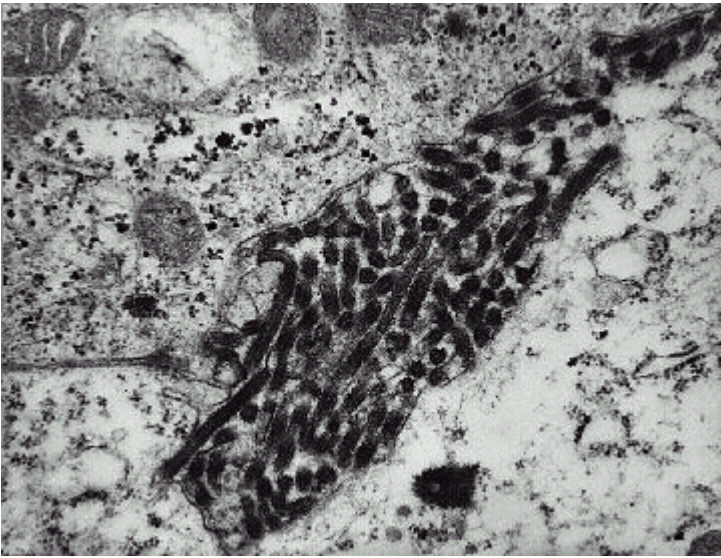


rNV Capsid



Primate Calicivirus

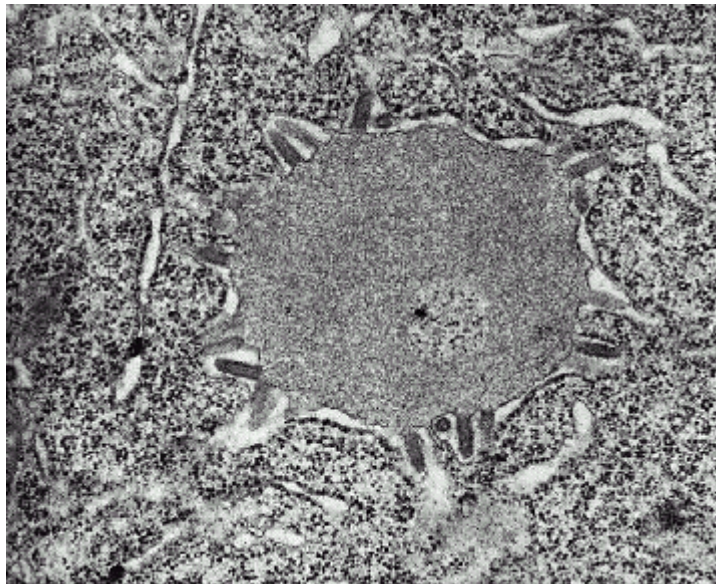
Three-dimensional structures of recombinant Norwalk capsid (rNV capsid) and primate calicivirus determined to 22 Å resolution using electron cryomicroscopy and computer image processing techniques.



Marburg-filovirus

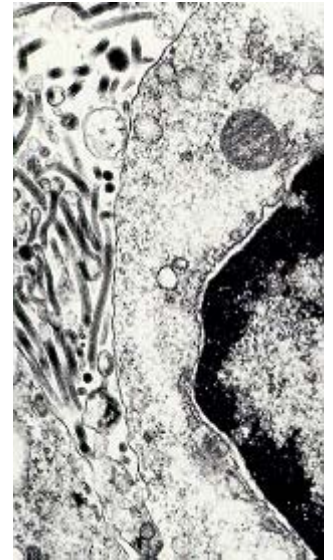


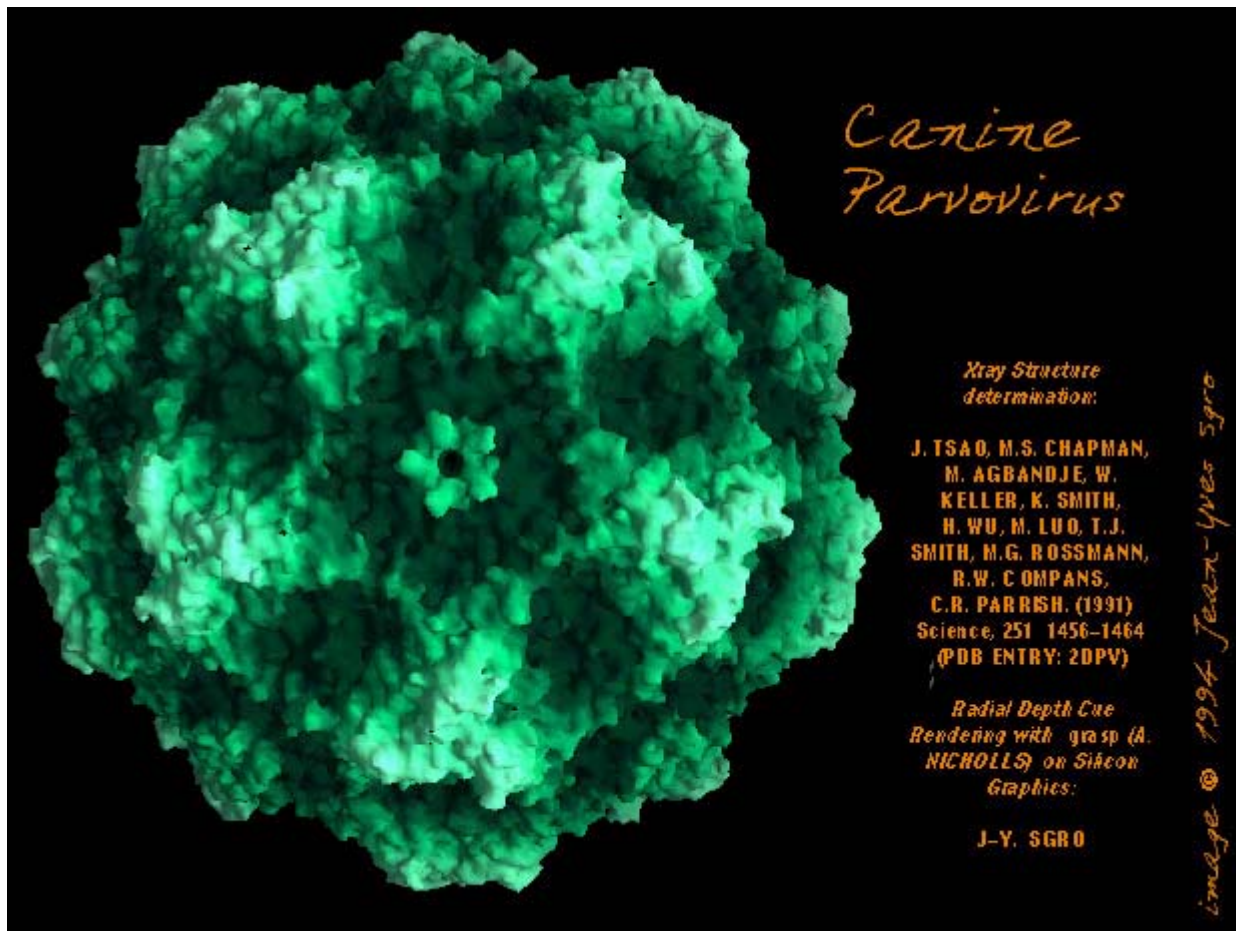
Ebola-filovirus



Rabies

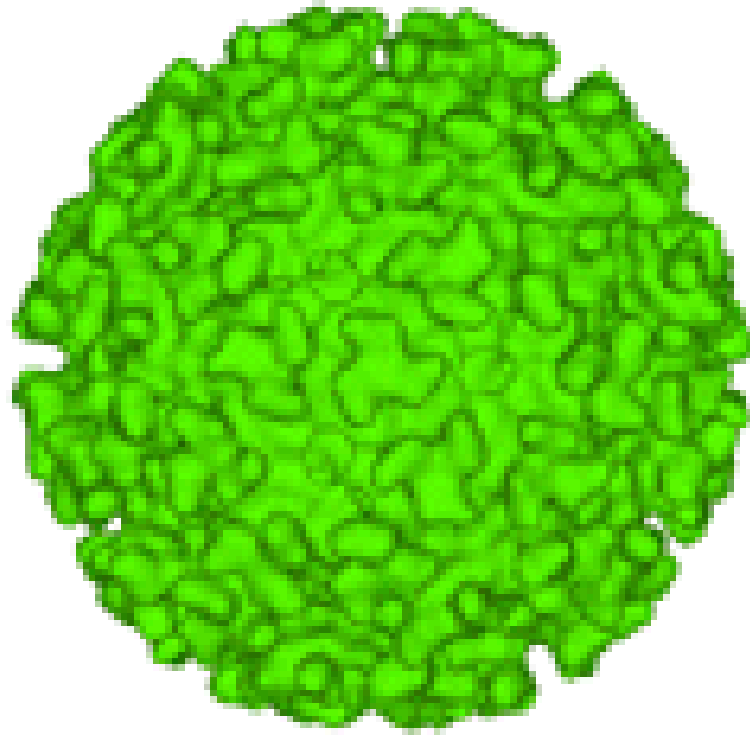
Ebola Zaire





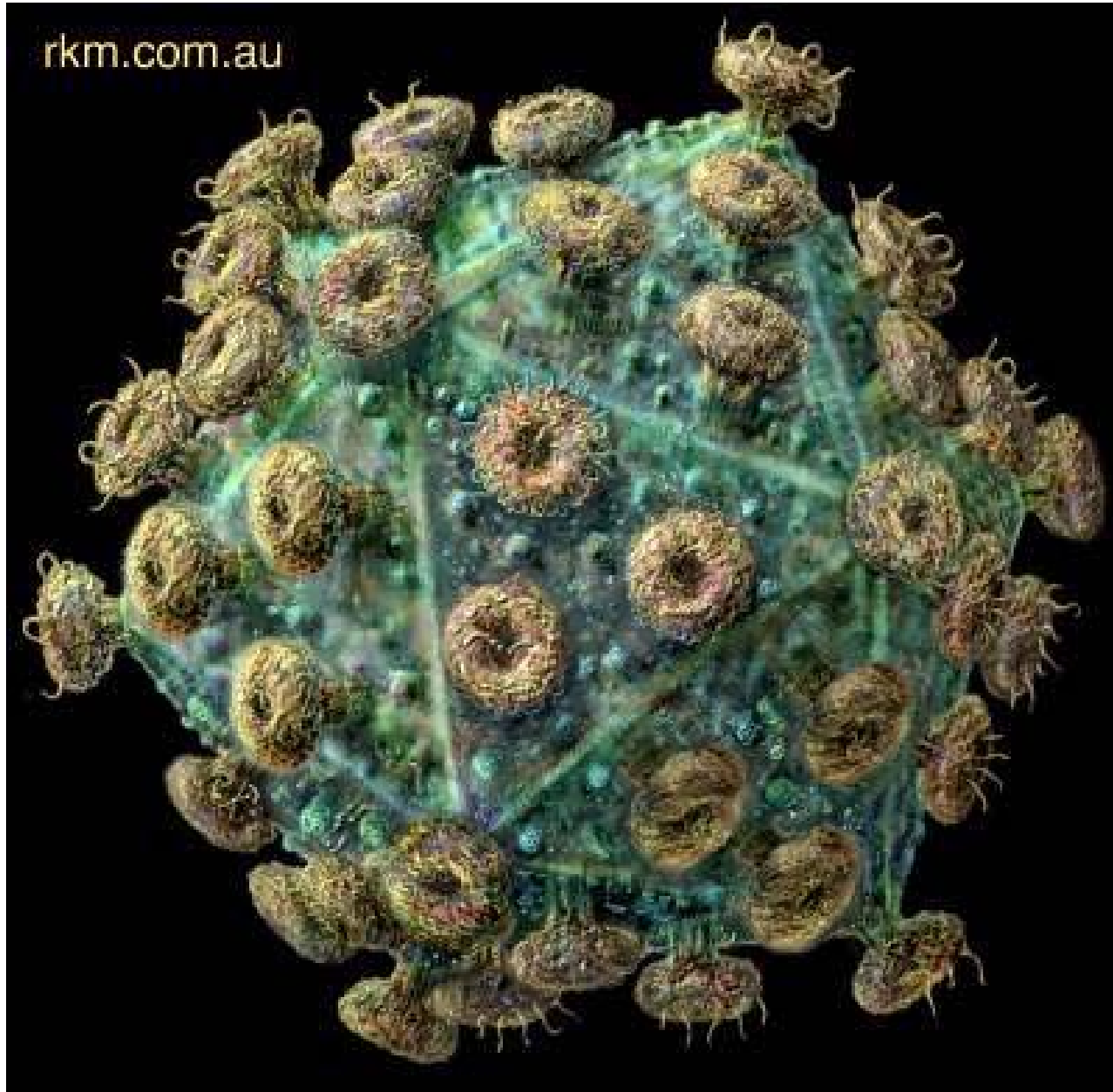
Koirain parvovirus

DNA single stranded, non-enveloped

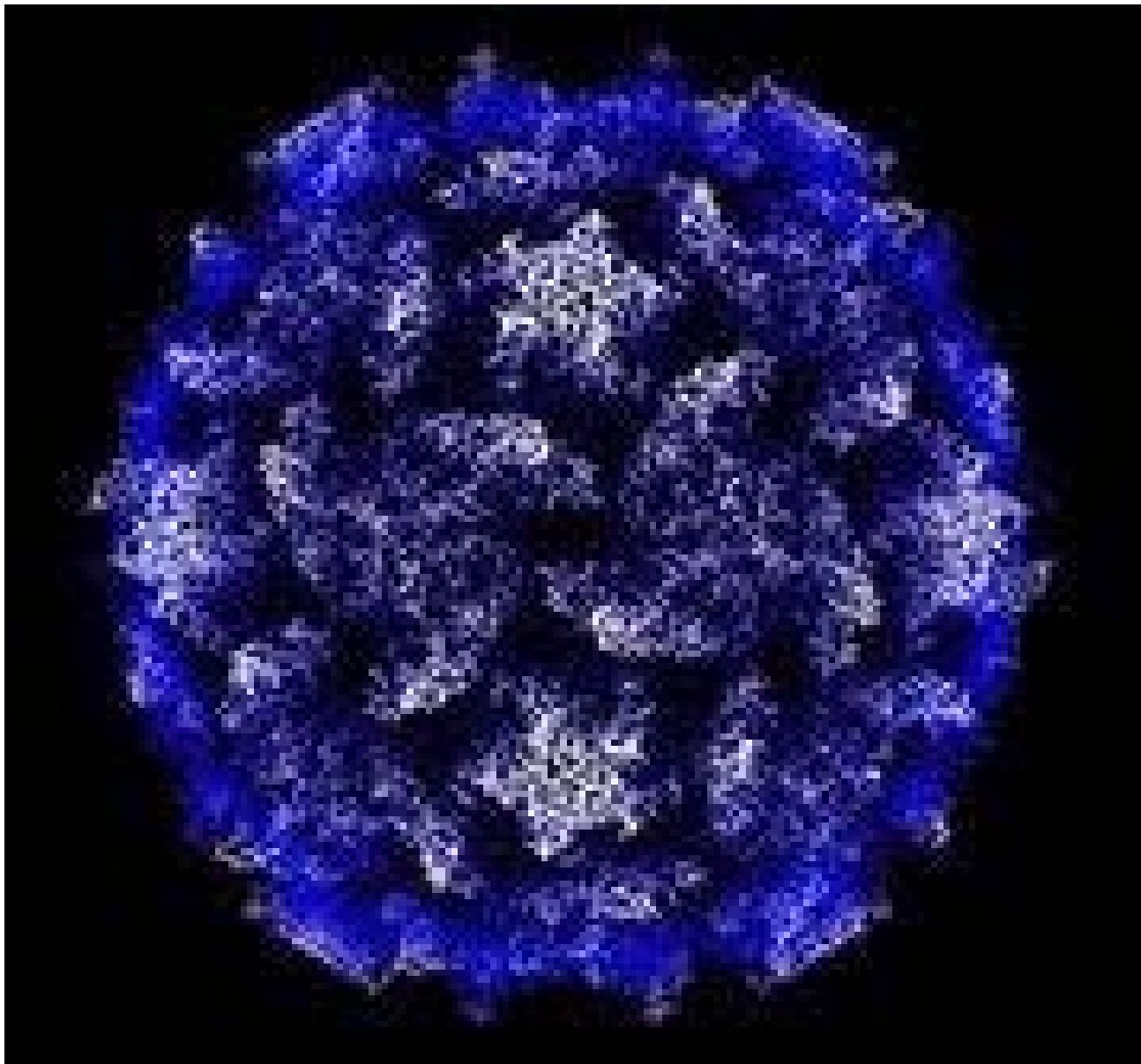


Semliki Forest virus
RNA, envelope

rkm.com.au



HIV



Ihmisen poliovirus Picornavirukset



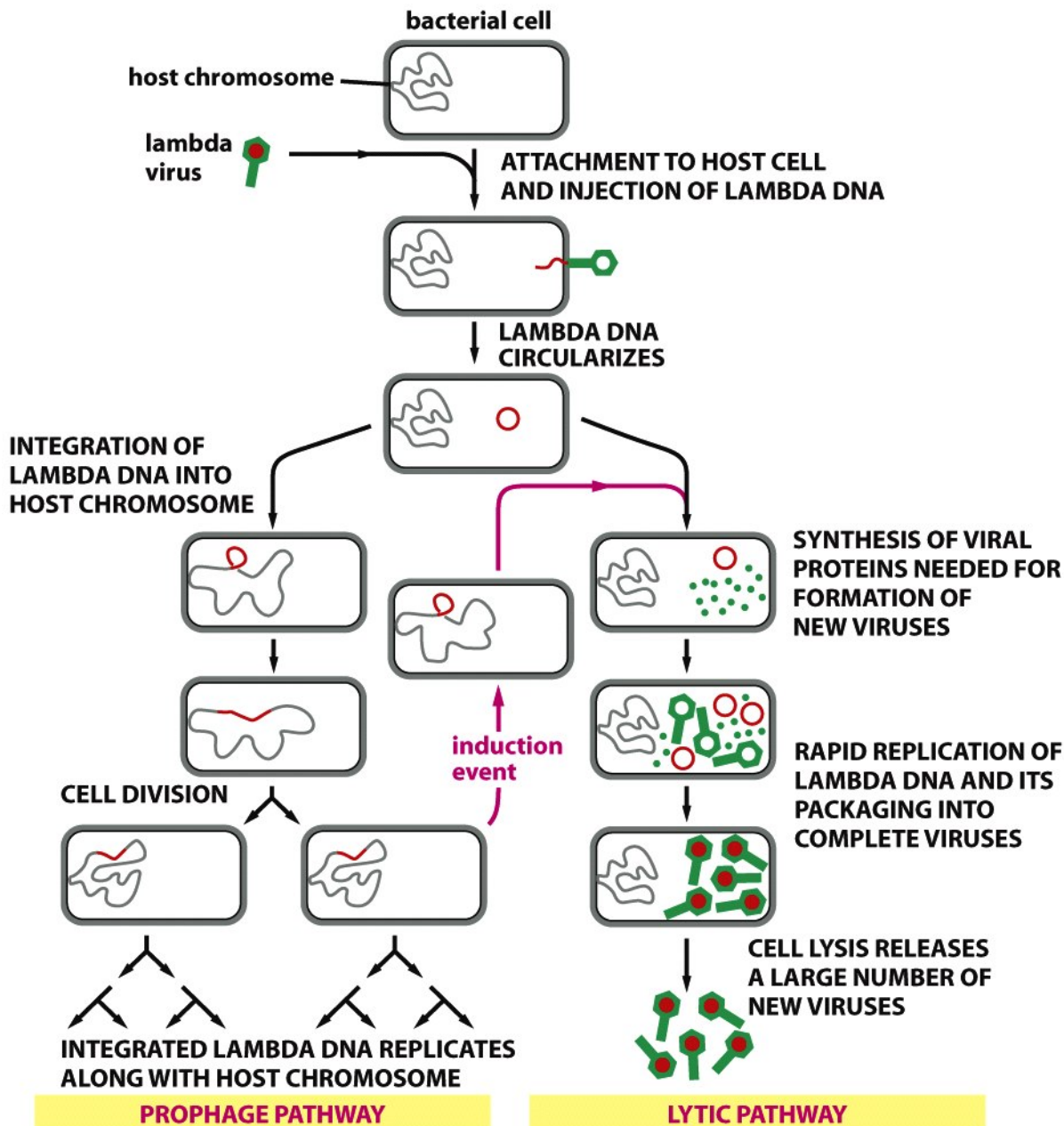
The Big Picture Book of Viruses

BROUGHT TO YOU BY THE GARRY LAB

Genome & Physical Characteristics			Virus Family
Type	Nucleic Acid Description	Envelope	Name
DNA	ds	enveloped	Baculoviridae
			Herpesviridae
			Iridoviridae
			Poxviridae
			"African Swine Fever Viruses" (unnamed family)
	nonenveloped	Adenoviridae	
		Caulimoviridae	
		Myoviridae	
		Phycodnaviridae	
ss	nonenveloped	Tectiviridae	
		Papovaviridae	
		Circoviridae	
ds/ss	enveloped	Parvoviridae	
		Hepadnaviridae	



SISÄÄN?



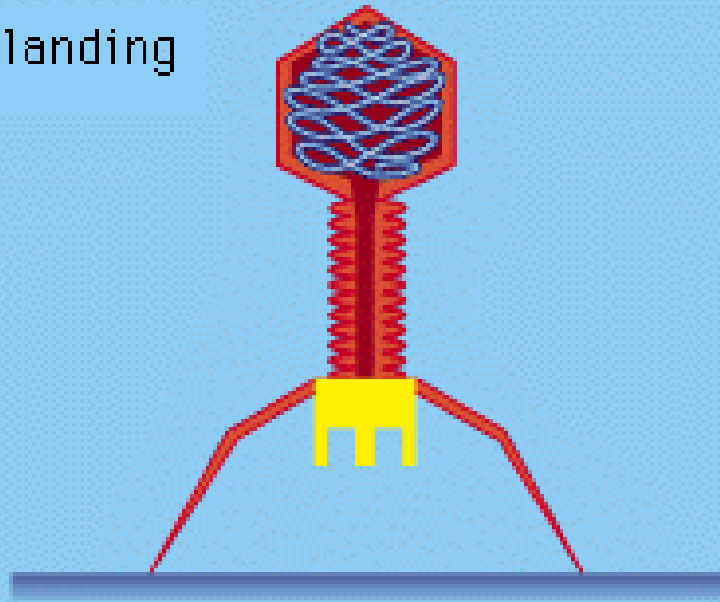
Bakteriofaagit ovat viruksia (luokitteluasias), mutta varsin monimutkaisia

Niiden perimä on DNA-muodossa

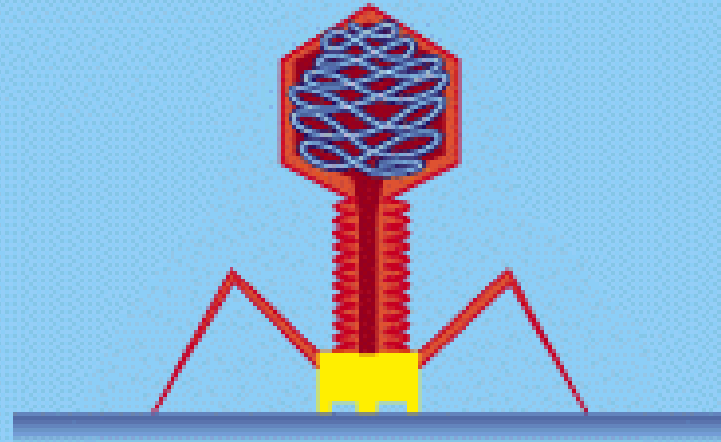
Faagi lambda osaa elää kahdella tavalla, lyyttisesti ja lysogeenisesti profagina

Figure 5-78 Molecular Biology of the Cell 5/e (© Garland Science 2008)

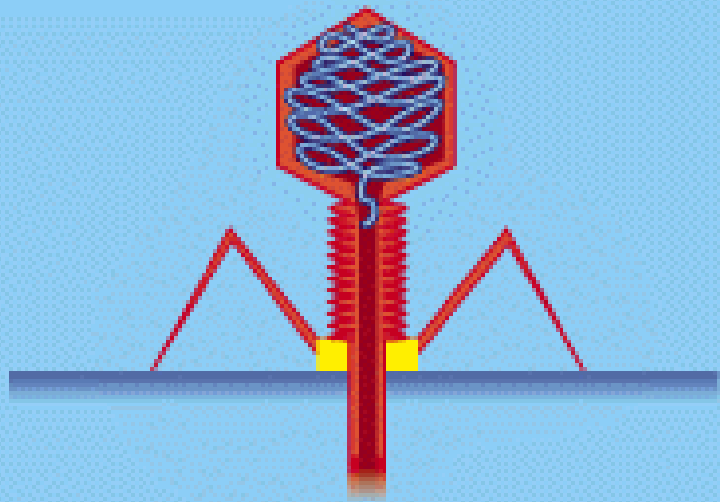
landing



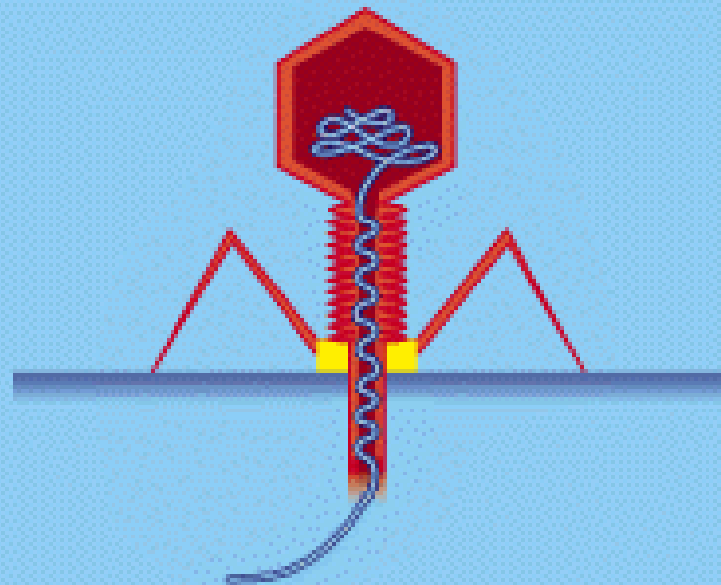
pinning



tail contraction
and penetration



DNA injection



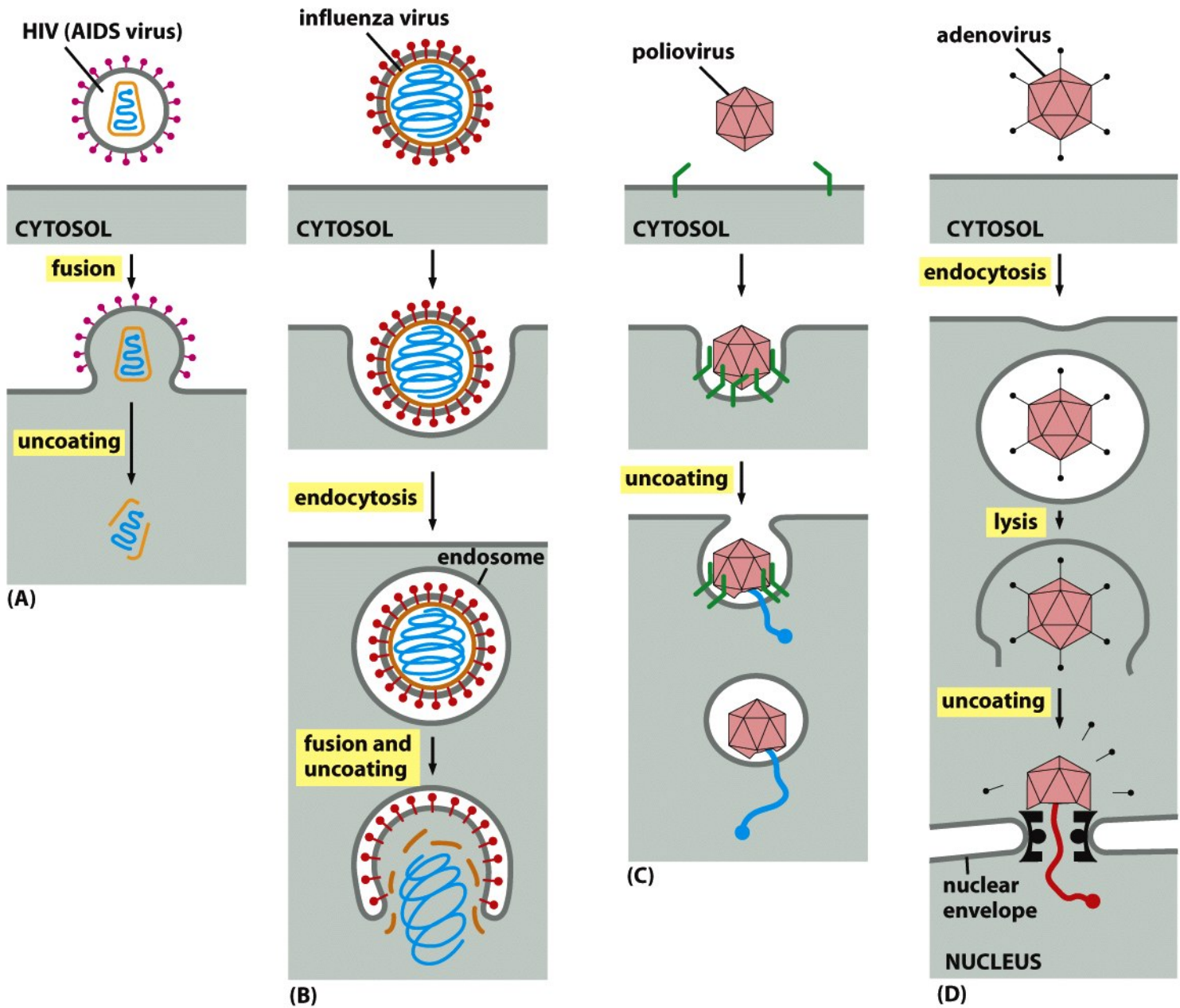
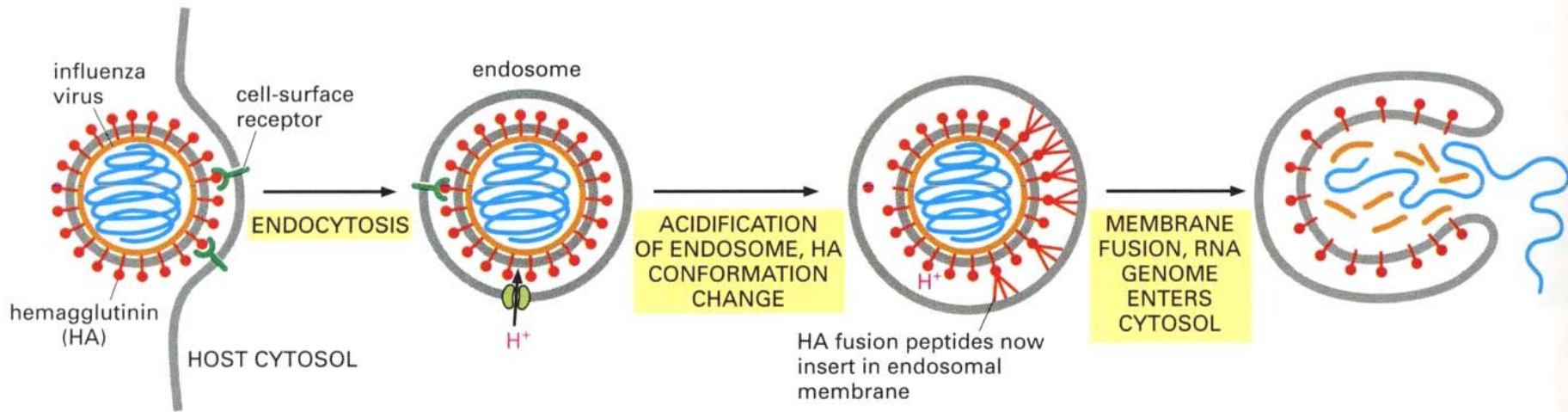


Figure 24-24 Molecular Biology of the Cell 5/e (© Garland Science 2008)



Influenssaviruksen sisäänmeno

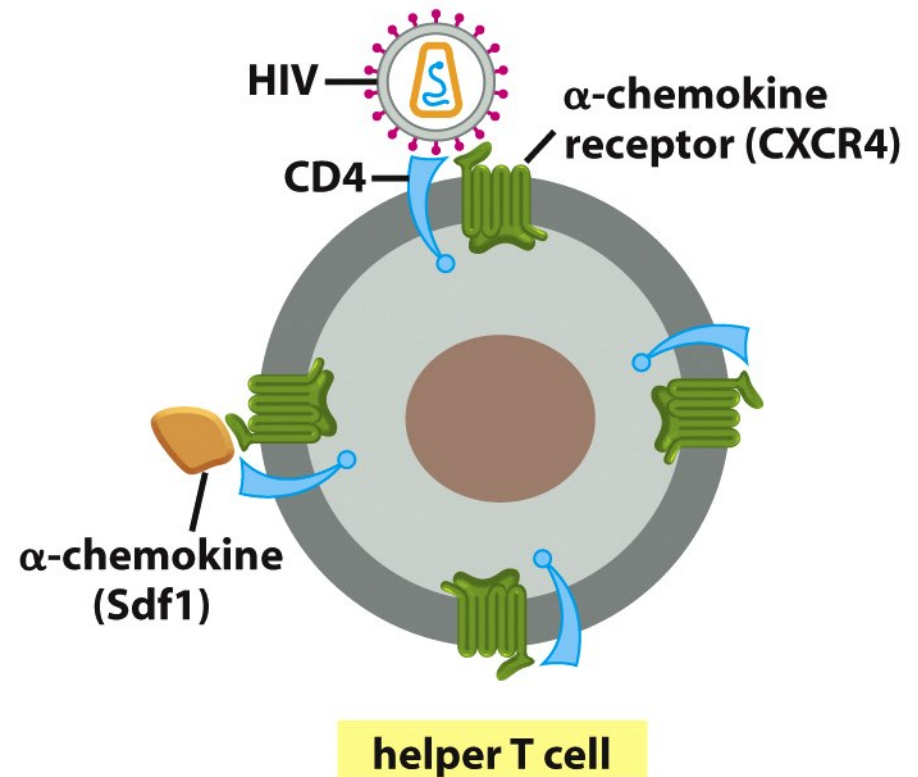
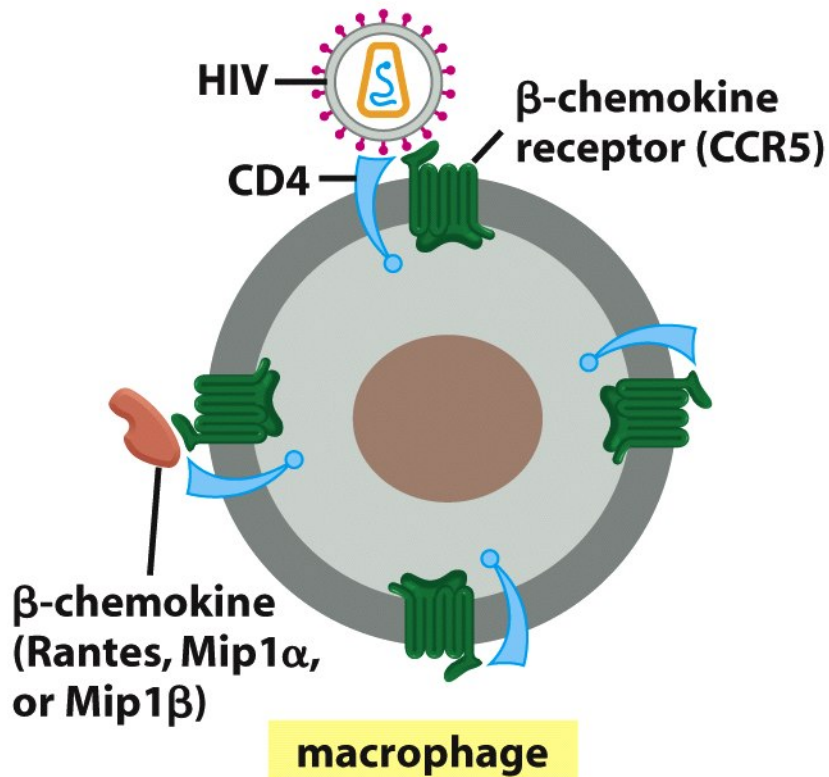


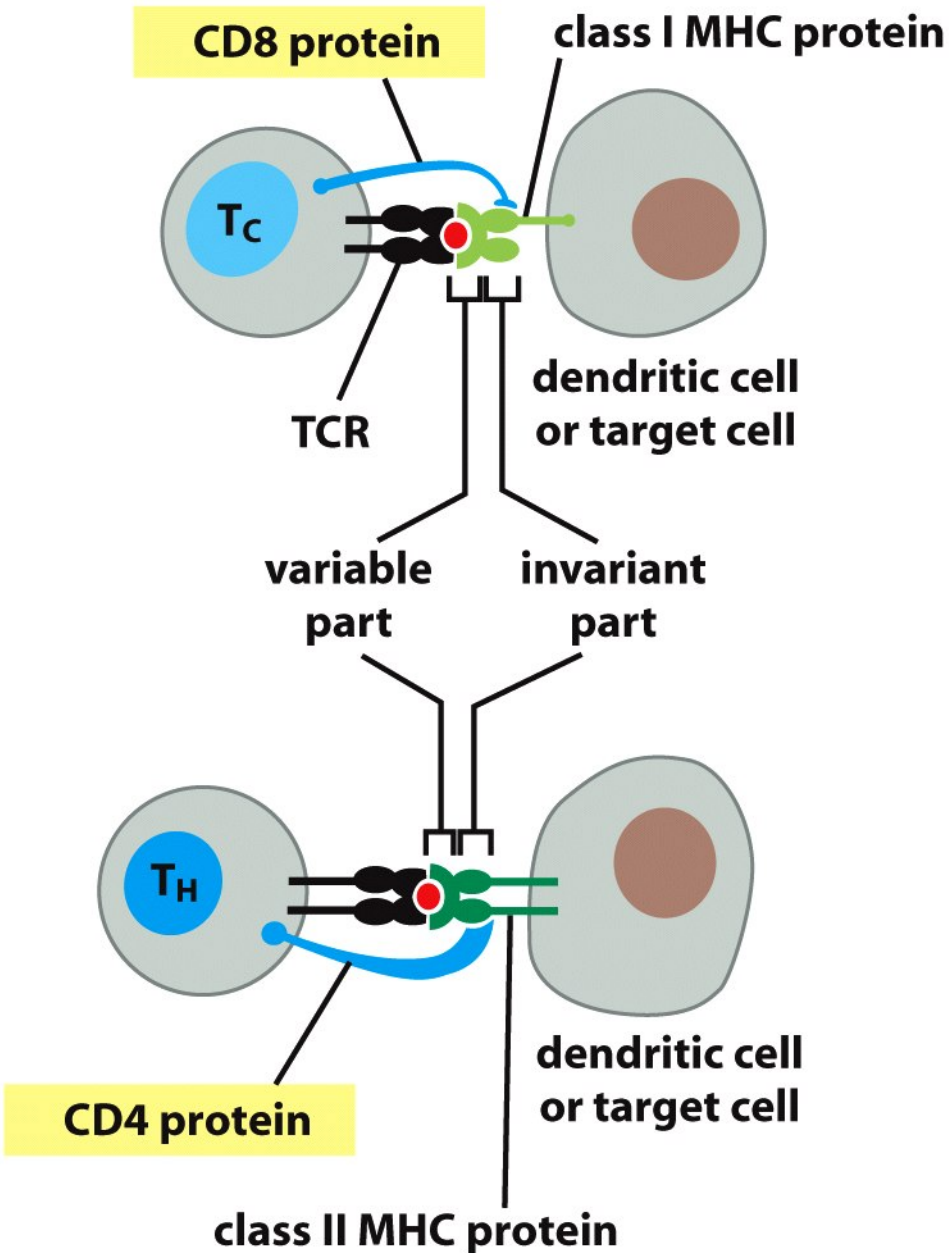
Figure 24-23 Molecular Biology of the Cell 5/e (© Garland Science 2008)

HIVin sisäänmeno immuunijärjestelmän soluihin

MHC-proteiini esittelee juuri löytämänsä polypeptidiä T-soluille

T-helper solu tunnistaa tilanteen **CD4**-proteiininsa avulla

Ikävä kyllä, HIV tunnistaa T-helper –solun **CD4**-proteiinin takia ja käyttää sitä sisäänpääsyyn!



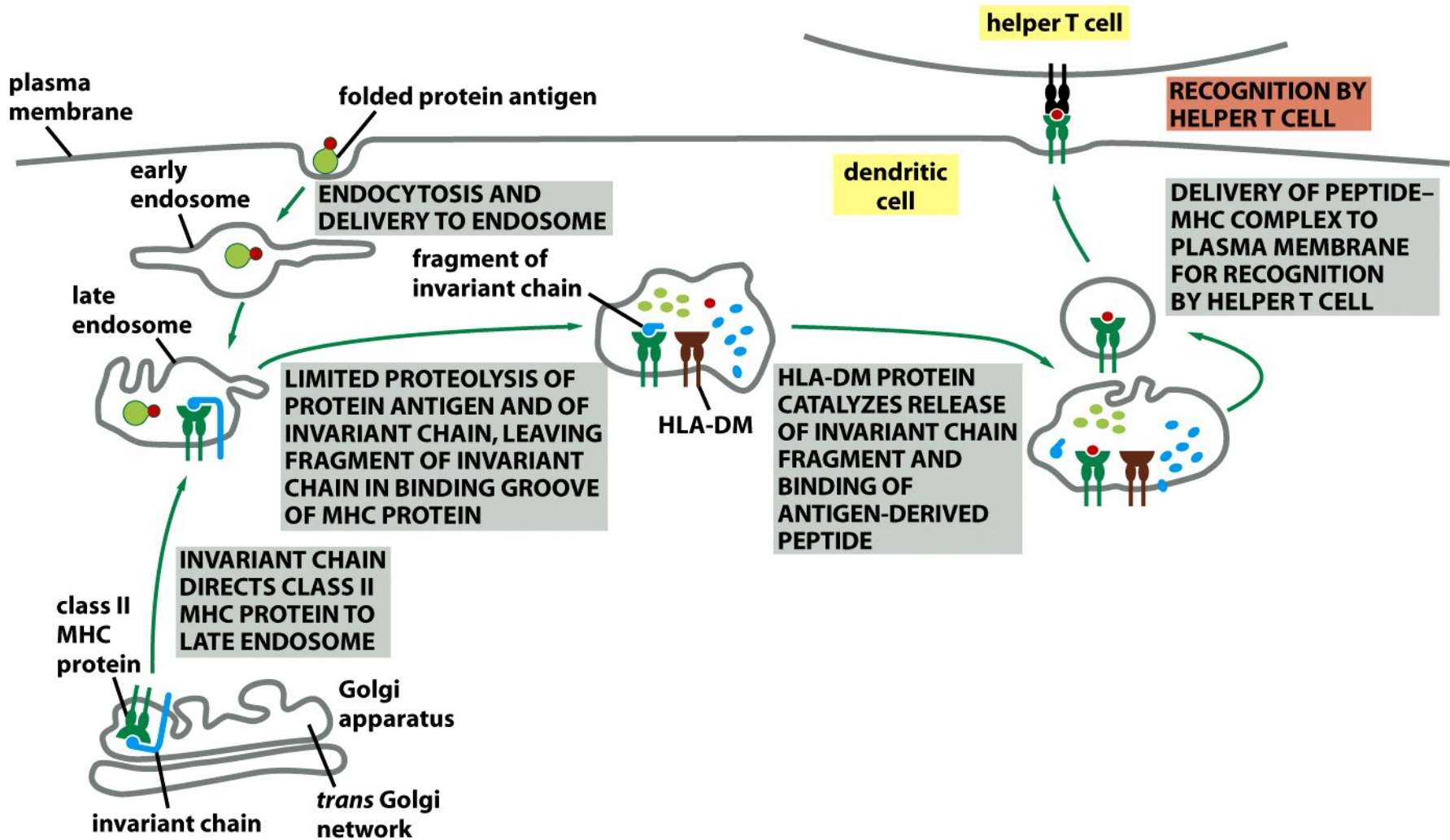
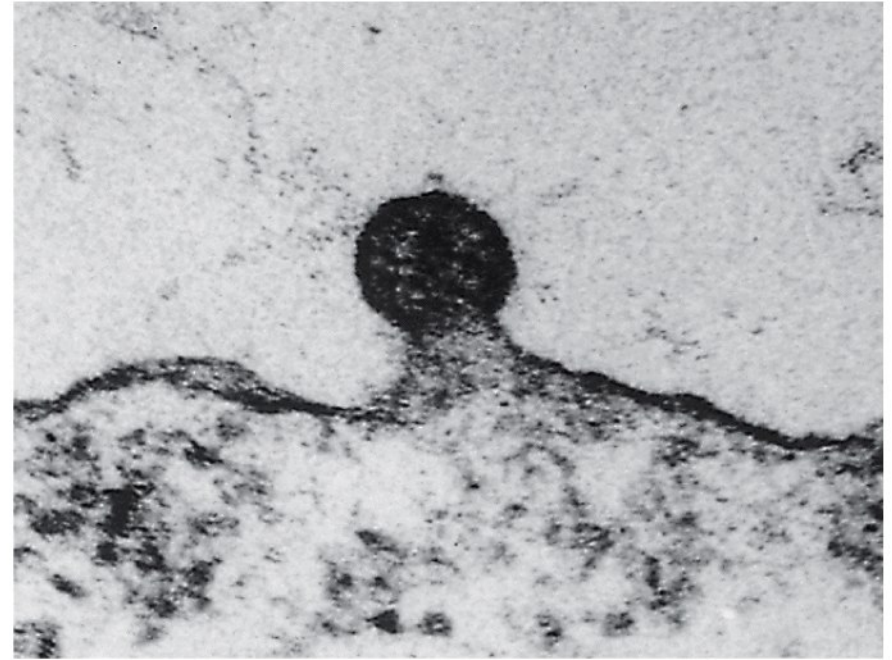
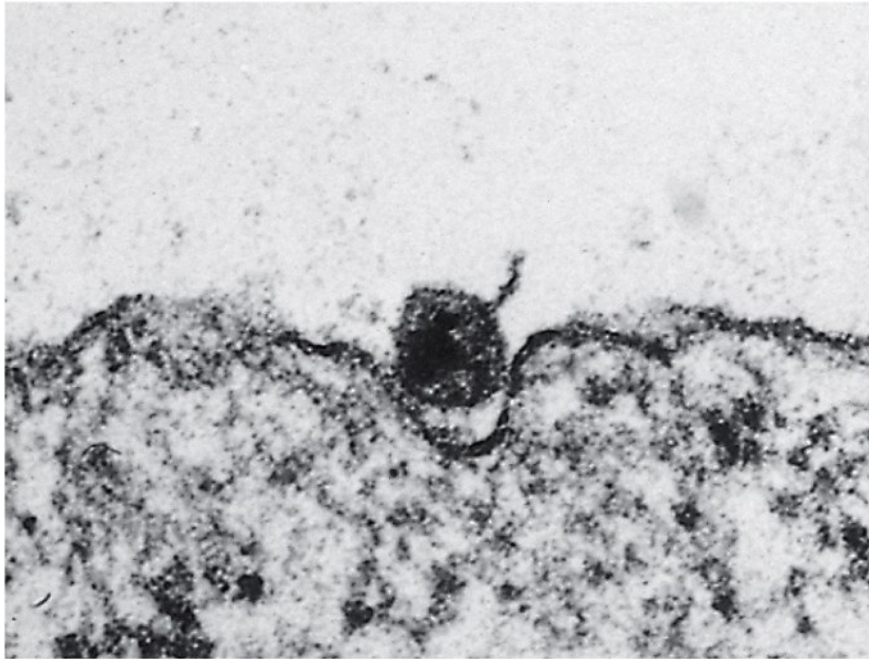


Figure 25-61 Molecular Biology of the Cell 5/e (© Garland Science 2008)



200 nm

Figure 13-19a Molecular Biology of the Cell 5/e (© Garland Science 2008)

HIV menossa soluun fuusioimalla membraaninsa solun kalvoon

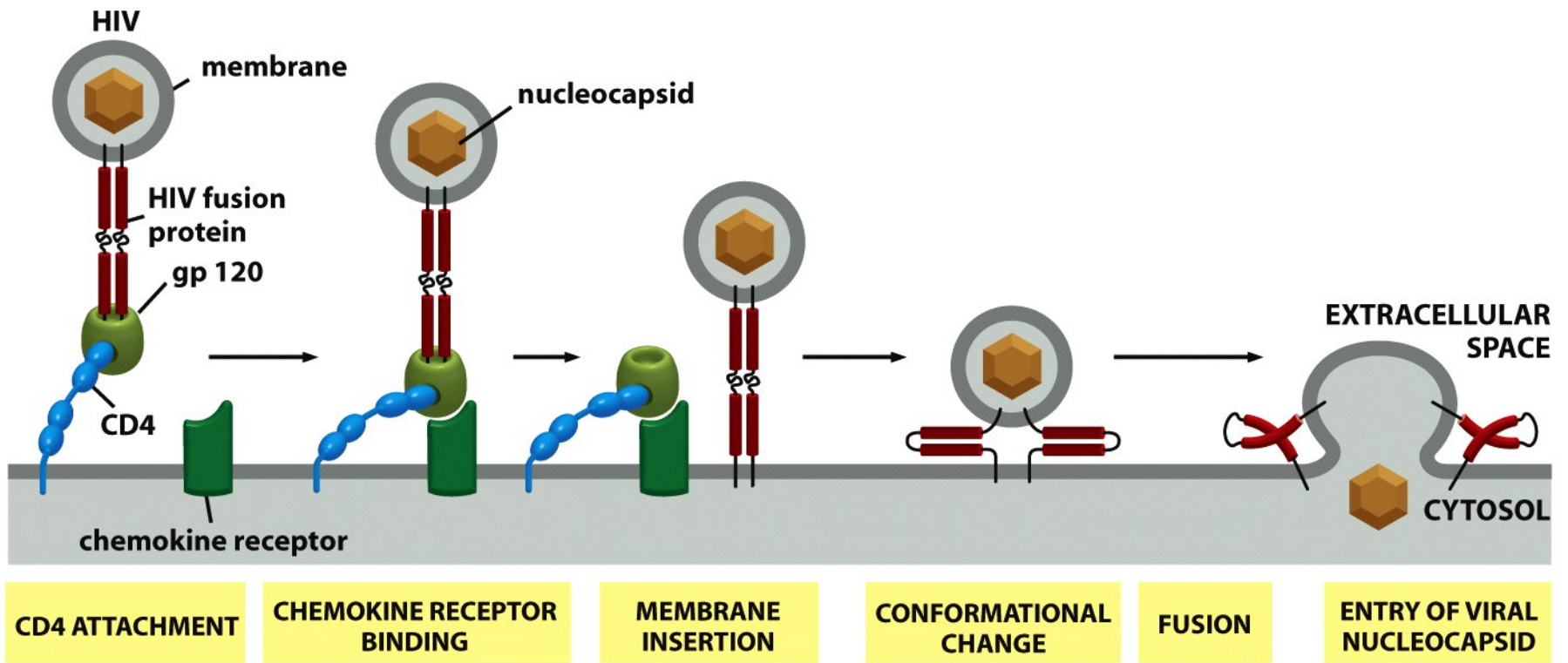


Figure 13-19b Molecular Biology of the Cell 5/e (© Garland Science 2008)

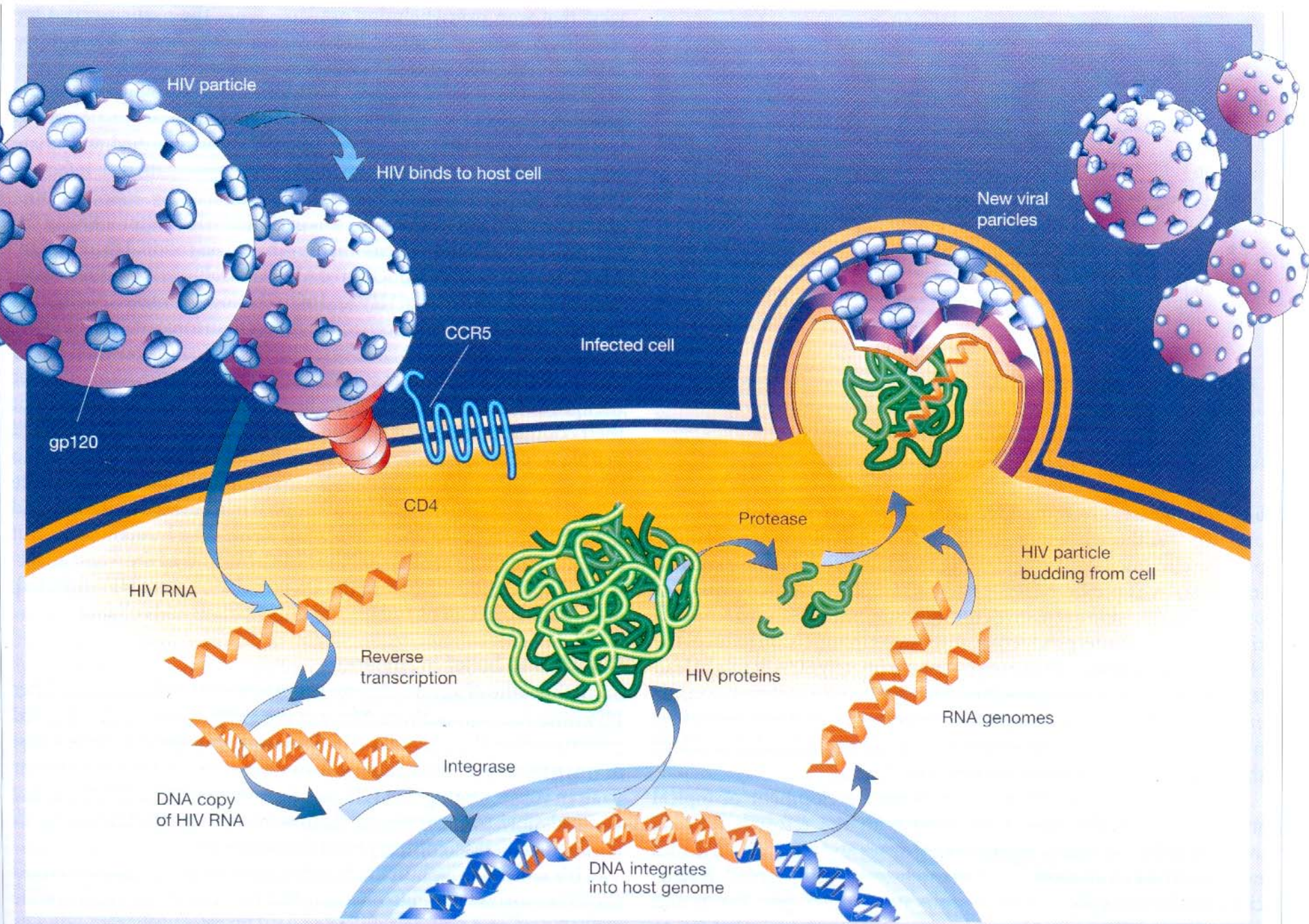
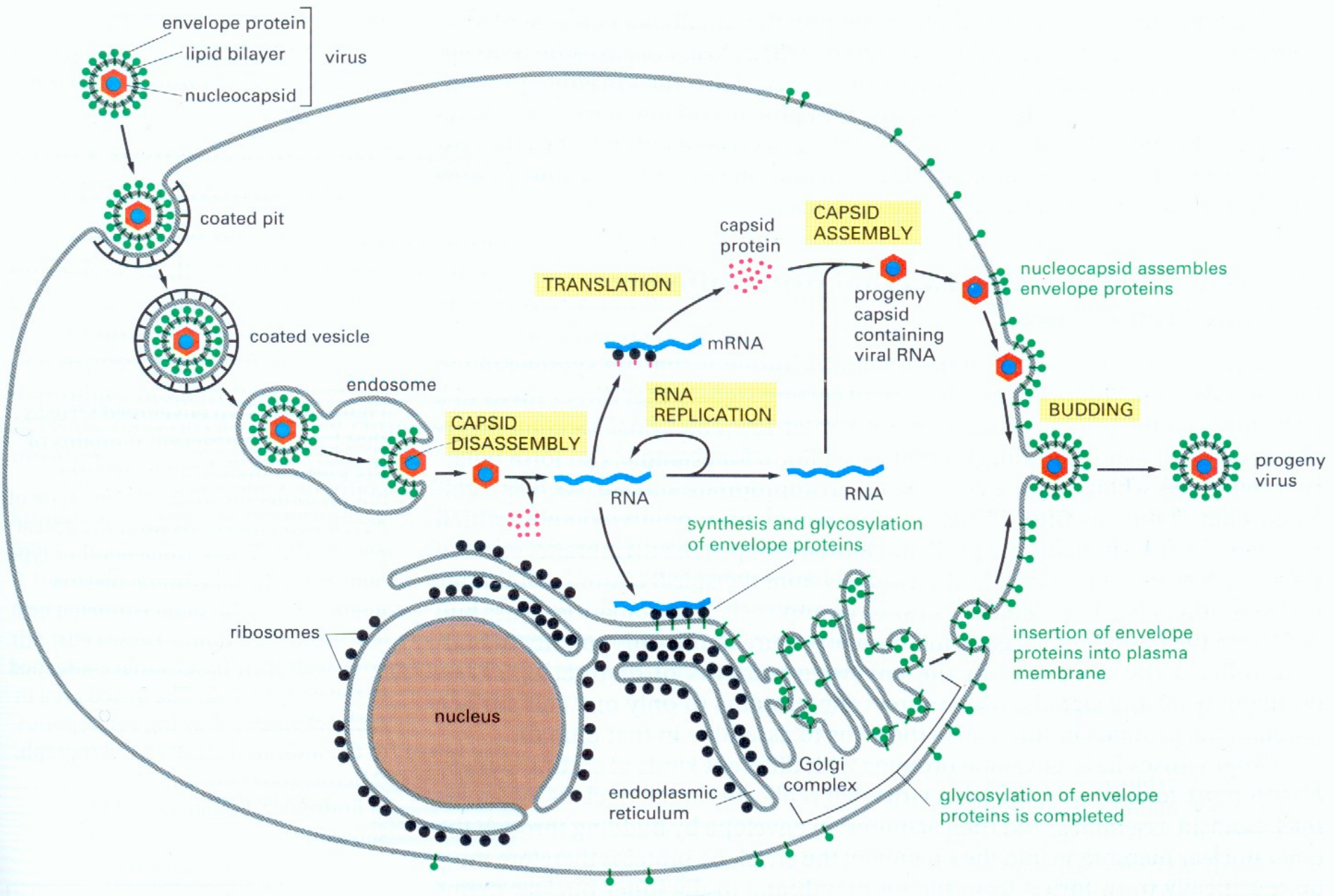


Figure 1 The human immunodeficiency virus. Replication cycle of HIV showing multiple steps available for attack by antiretroviral drugs.



Semliki Forest -viruksen elinkierto

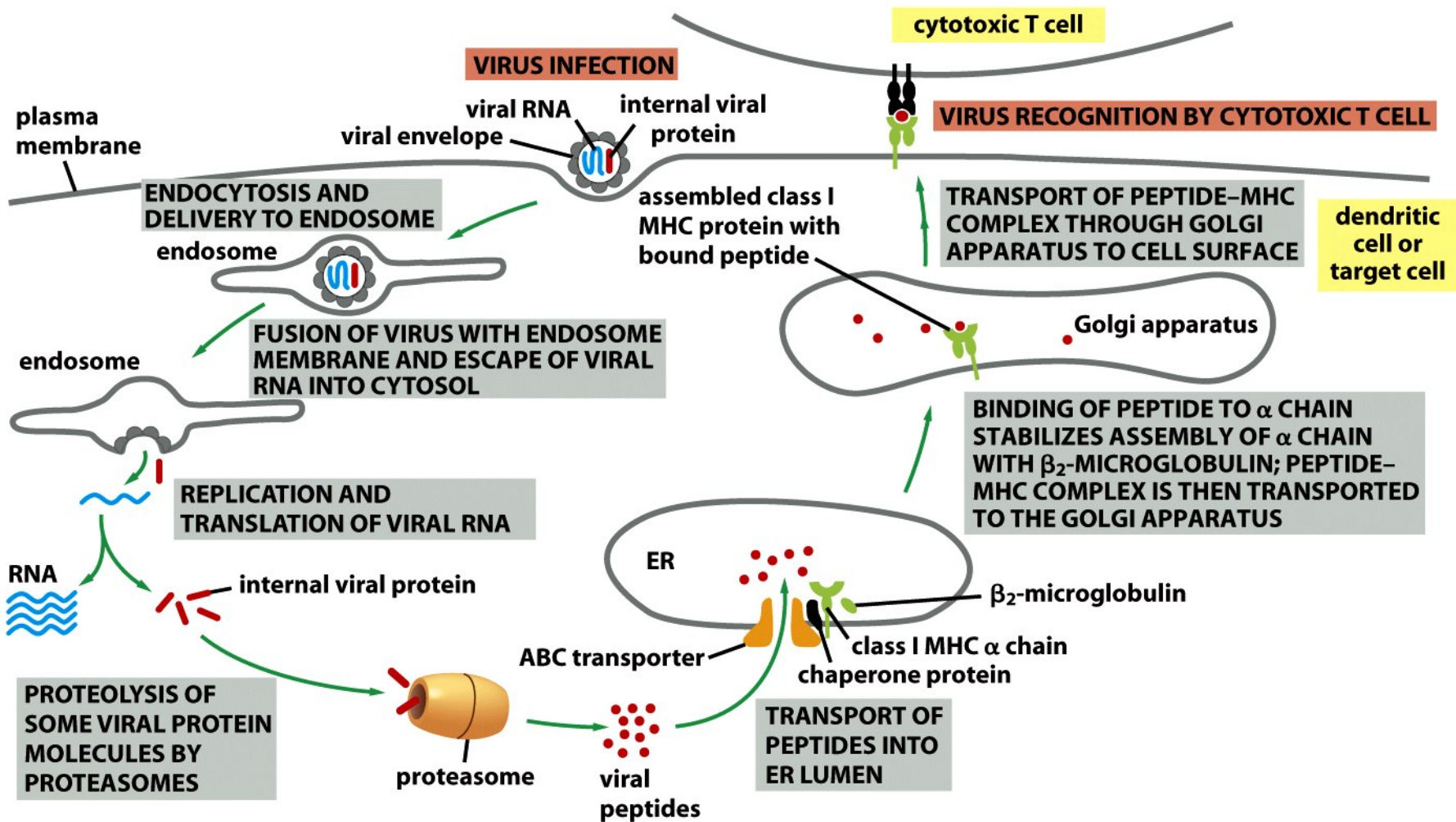


Figure 25-59 Molecular Biology of the Cell 5/e (© Garland Science 2008)

MHC: kuinka virus yms. havaitaan solussa ja kavalletaan sytotoksiselle T-solulle

Monistuminen

Rekombinaatio

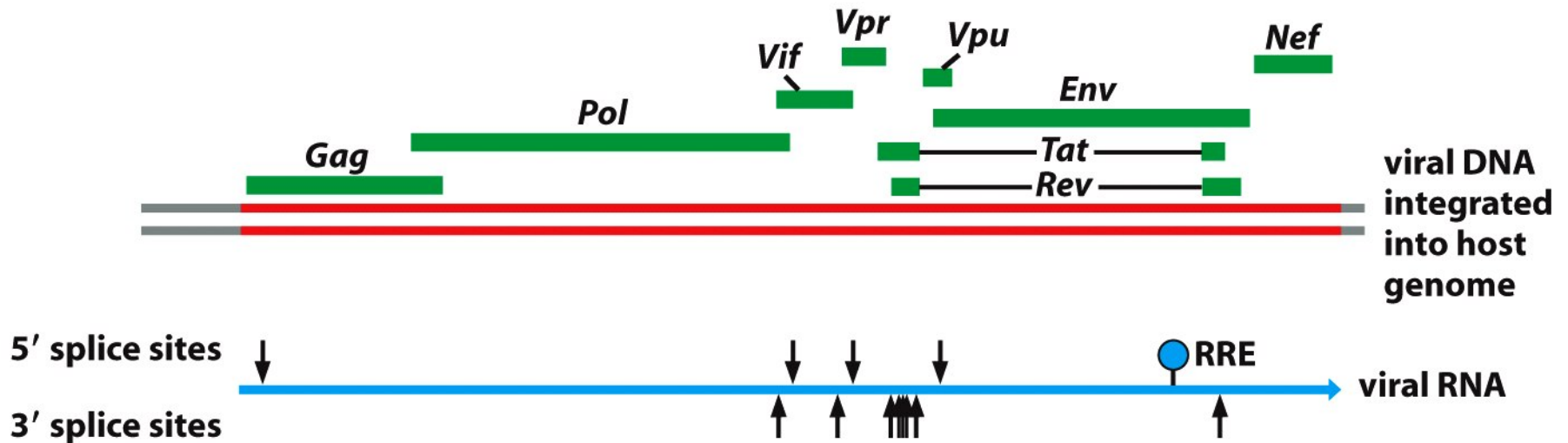


Figure 7-102 Molecular Biology of the Cell 5/e (© Garland Science 2008)

HIVin geenikartta

Gag, *Pol* ja *Env* ovat retrovirusten vakiogeenit

Gag proteiini pilkootaan kapsidiksi

Pol on käänteistranskriptaasi

Env = envelope

HIV-genomi: mRNA:n editointia

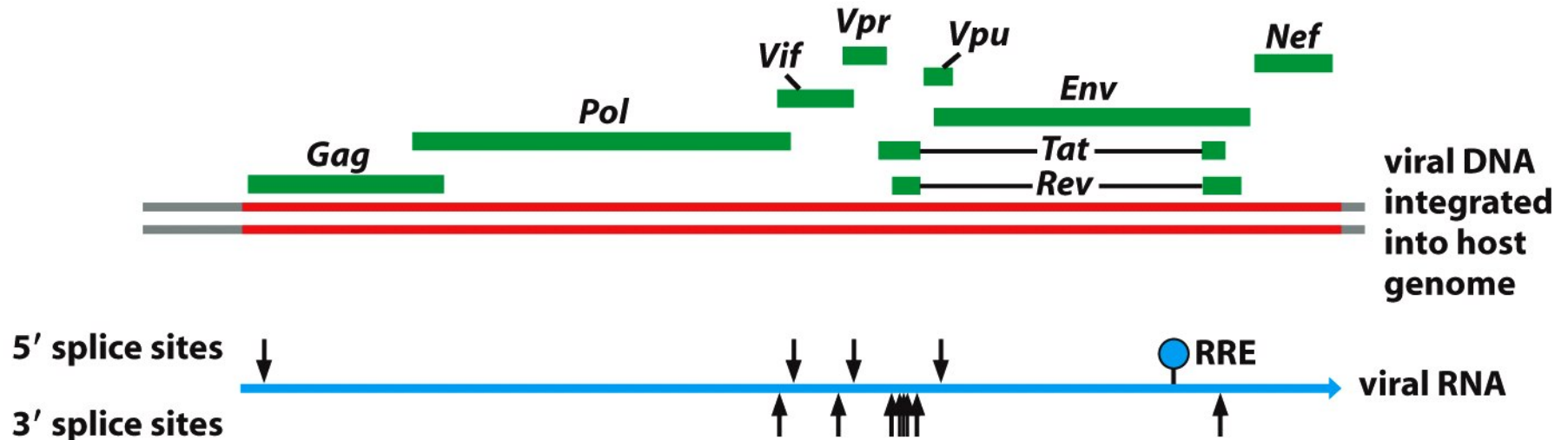
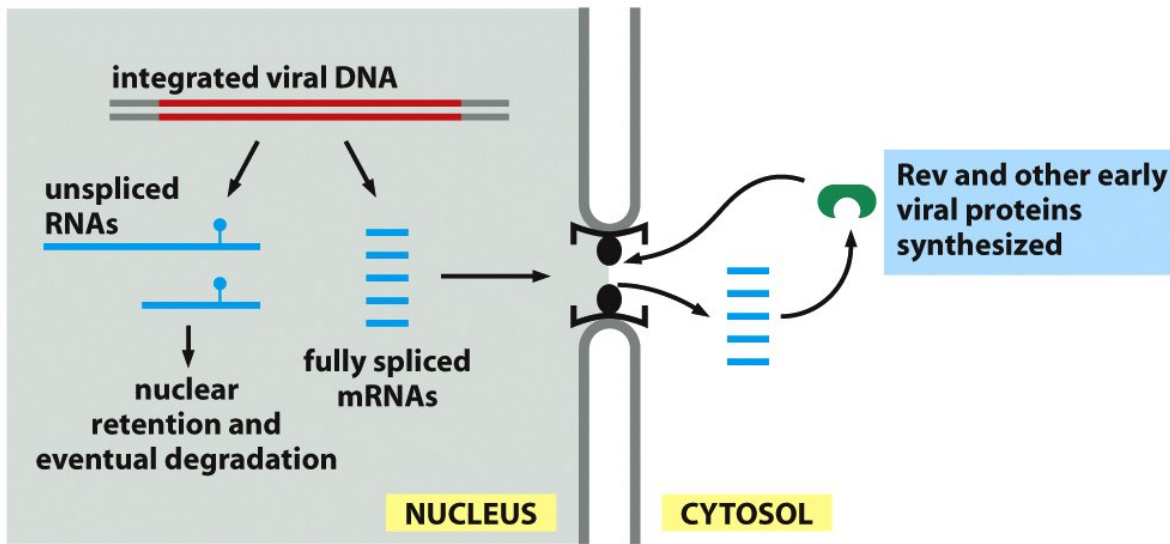


Figure 7-102 Molecular Biology of the Cell 5/e (© Garland Science 2008)

RNA:n editointi ja vaihtoehtoisesta splicing. Geenit ovat osittain päällekkäisiäkin. Esimerkiksi pol-proteiini tuotetaan niin, että mRNA luiskahtaa ribosomilla taaksepäin kun gag-proteiini on valmis. RRE on rev-proteiinin "kahva" eli mRNA:n sekundaaristrukturissa oleva hiuspinni

(A) early HIV synthesis

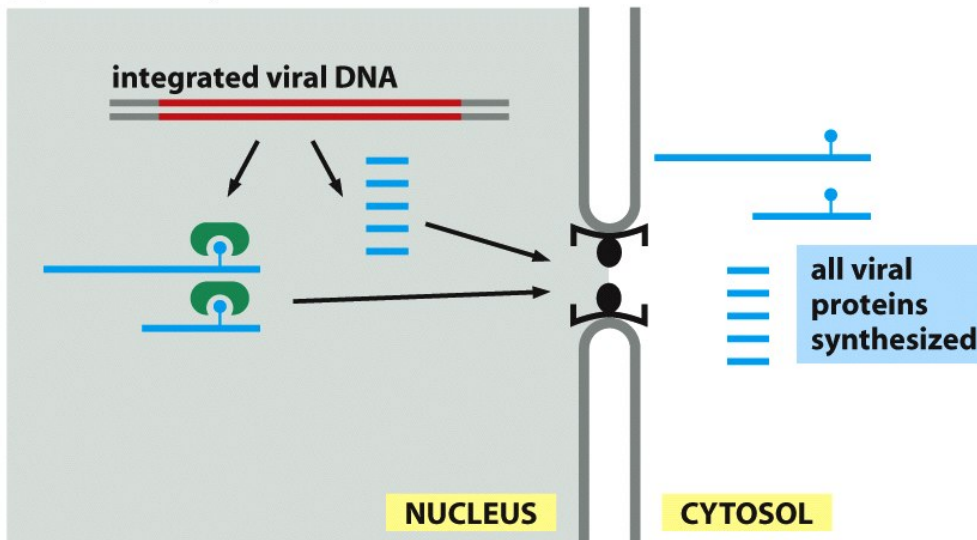


Virus säätelee toimintojensa ajoitusta.

Ensin toimivat *rev*, *tat* ja *nef*

Silputtamaton *env* ei pääse tumasta ulos

(B) late HIV synthesis



Rev-proteiini hoitaa huijauksen ja silputtamatonkin pääsee ulos tumasta

Virus pääsee latenssivaiheeseen piileskelemään?

Figure 7-103 Molecular Biology of the Cell 5/e (© Garland Science 2008)

early HIV synthesis

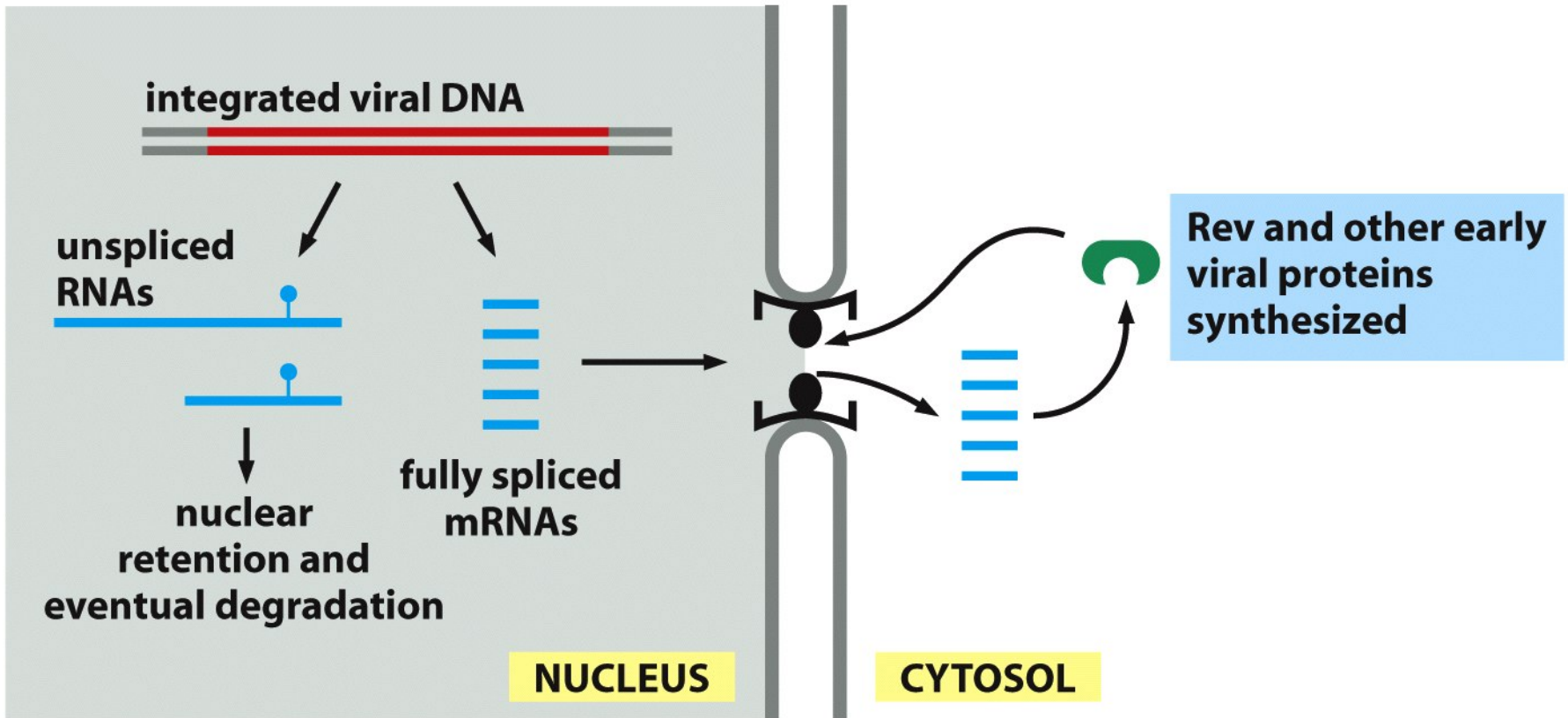


Figure 7-103a Molecular Biology of the Cell 5/e (© Garland Science 2008)

late HIV synthesis

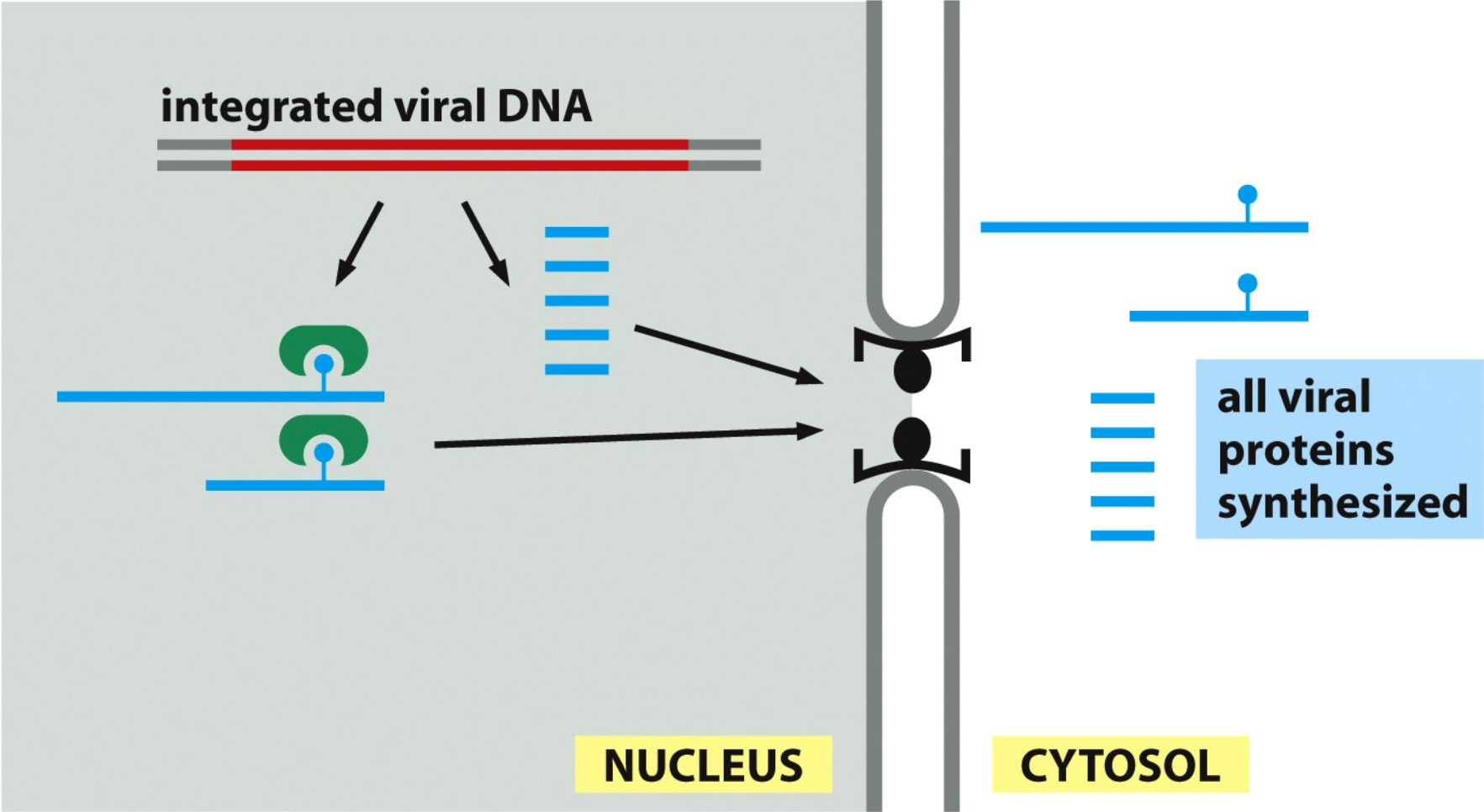


Figure 7-103b Molecular Biology of the Cell 5/e (© Garland Science 2008)

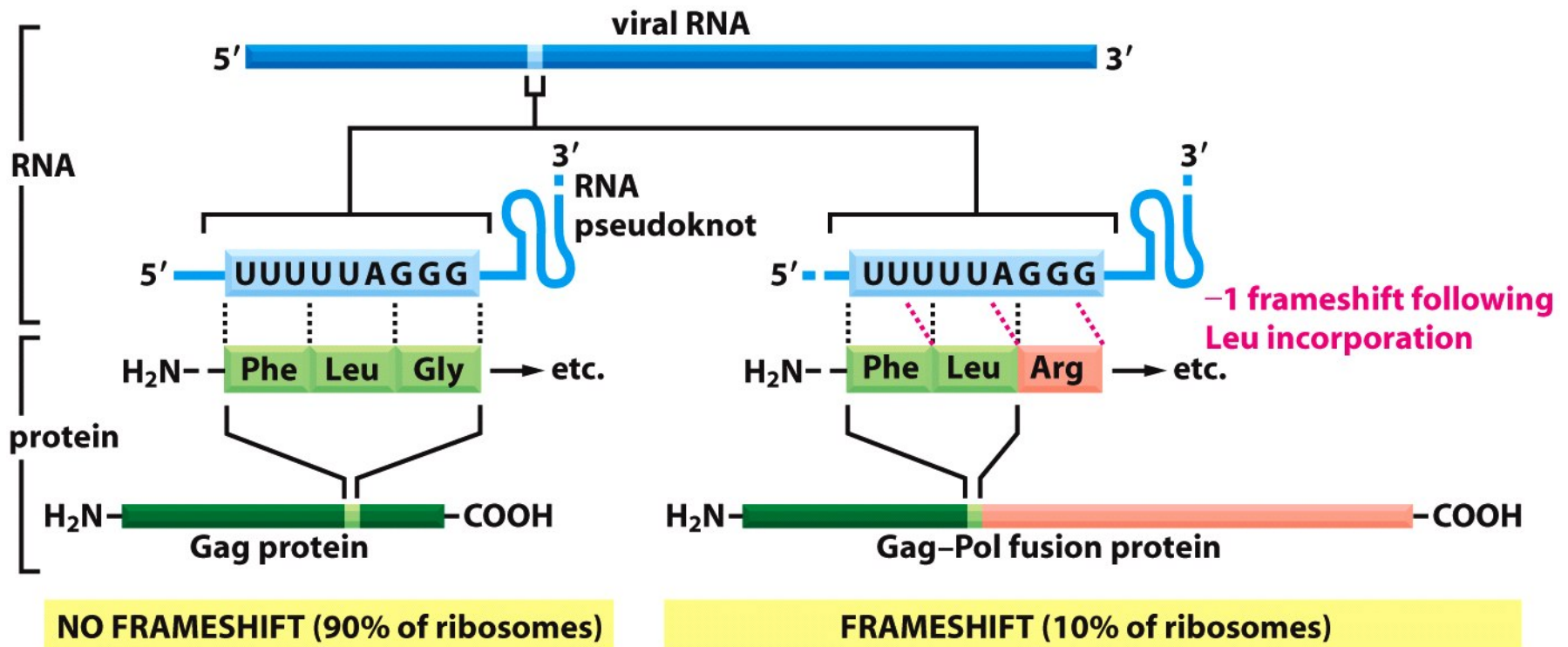
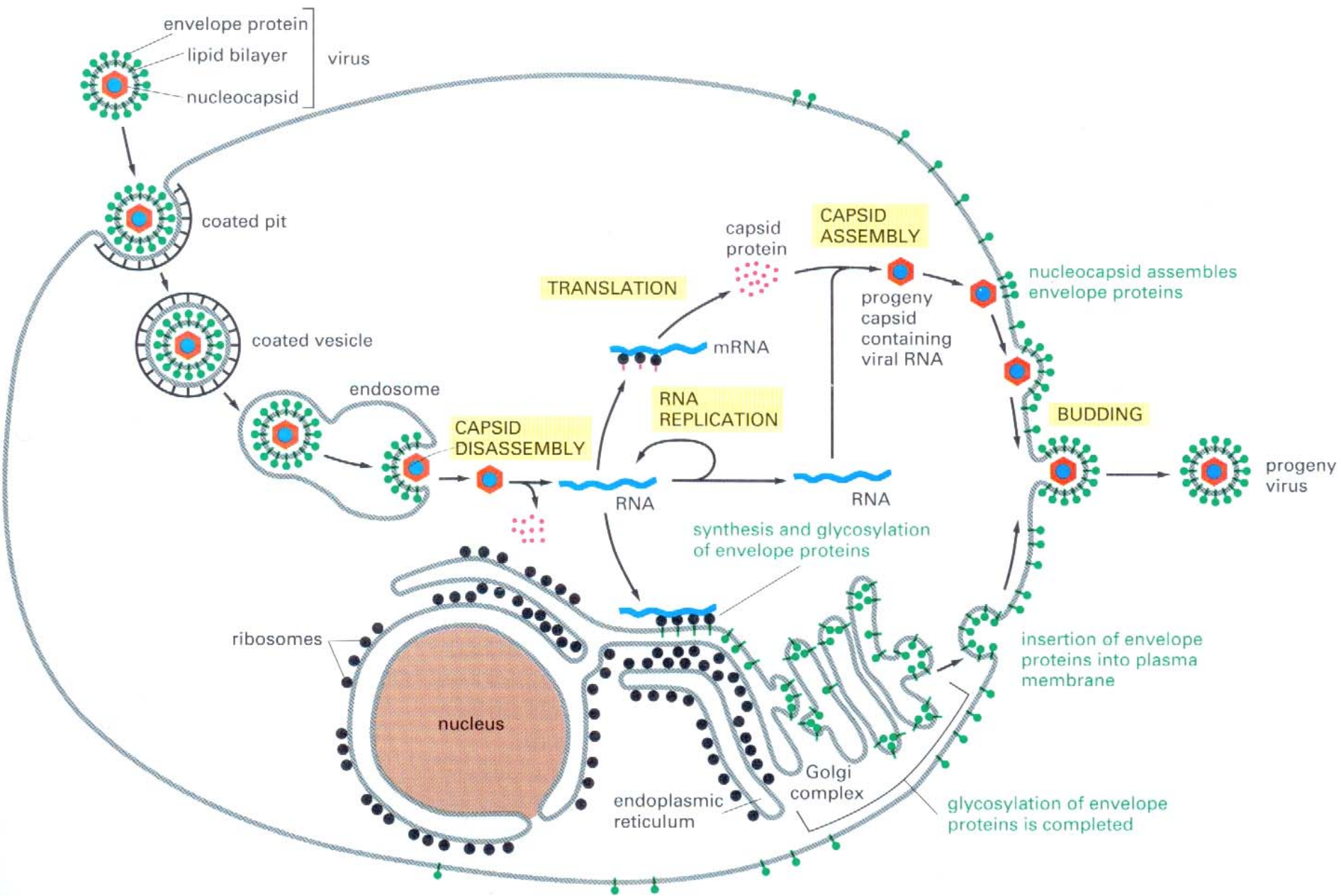


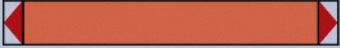
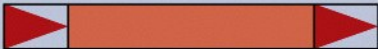
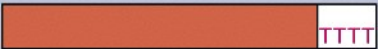
Figure 6-78 Molecular Biology of the Cell 5/e (© Garland Science 2008)

Translational frameshifting



Semliki Forest -viruksen elinkierto

Table 5–3 Three Major Classes of Transposable Elements

CLASS DESCRIPTION AND STRUCTURE	SPECIALIZED ENZYMES REQUIRED FOR MOVEMENT	MODE OF MOVEMENT	EXAMPLES
DNA-only transposons			
 <p>short inverted repeats at each end</p>	transposase	moves as DNA, either by cut-and-paste or replicative pathways	<p>P element (<i>Drosophila</i>)</p> <p>Ac-Ds (maize)</p> <p>Tn3 and Tn10 (<i>E. coli</i>)</p> <p>Tam3 (snapdragon)</p>
Retroviral-like retrotransposons			
 <p>directly repeated long terminal repeats (LTRs) at each end</p>	reverse transcriptase and integrase	moves via an RNA intermediate produced by a promoter in the LTR	<p>Copia (<i>Drosophila</i>)</p> <p>Ty1 (yeast)</p> <p>THE1 (human)</p> <p>Bs1 (maize)</p>
Nonretroviral retrotransposons			
 <p>Poly A at 3' end of RNA transcript; 5' end is often truncated</p>	reverse transcriptase and endonuclease	moves via an RNA intermediate that is often produced from a neighboring promoter	<p>F element (<i>Drosophila</i>)</p> <p>L1 (human)</p> <p>Cin4 (maize)</p>

These elements range in length from 1000 to about 12,000 nucleotide pairs. Each family contains many members, only a few of which are listed here. In addition to transposable elements, some viruses can move in and out of host cell chromosomes by transpositional mechanisms. These viruses are related to the first two classes of transposons.

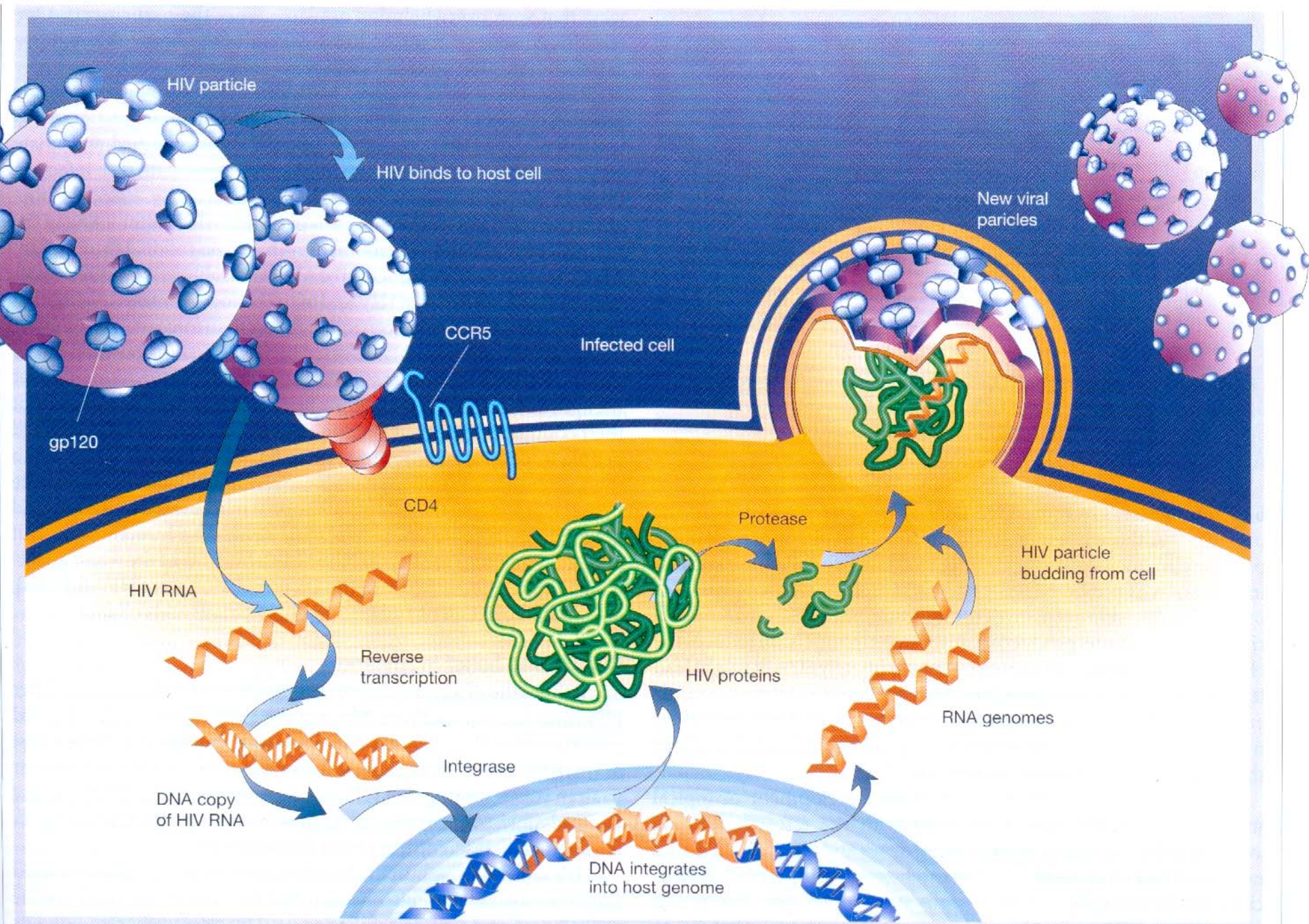
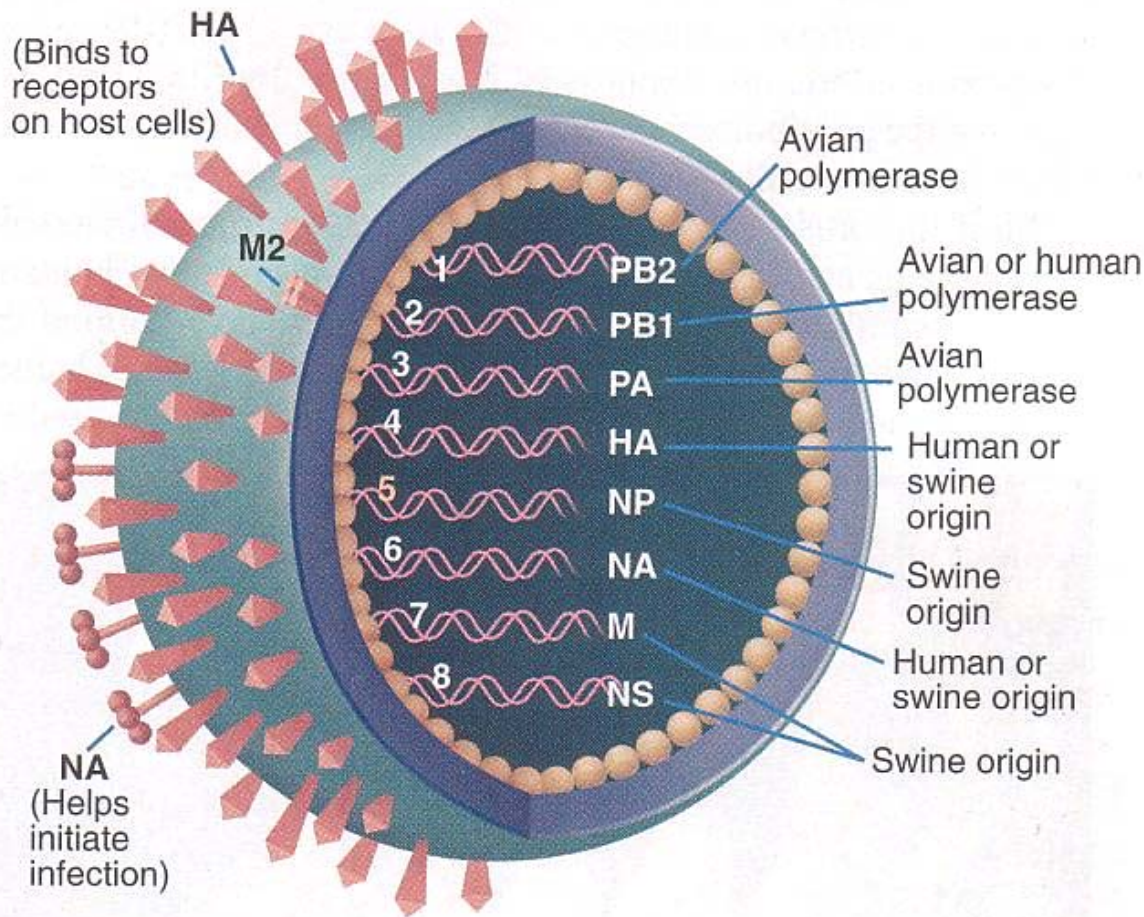


Figure 1 The human immunodeficiency virus. Replication cycle of HIV showing multiple steps available for attack by antiretroviral drugs.



New flus. The influenza viruses now found in North American pigs have genes from both human and bird viruses.

Uusi sikaflunssa USA:ssa: Science 7 March 2003. RNA on piirretty kaksijuosteiseksi, [vaikkei ole](#).

Kun/jos samaan isäntään pääsee useampia viruksia, ne voivat koota eteenpäin lähtemistä varten uusia kokeiluyhdistelmiä

Joillakin viruksilla kapseliin astuukin kaksi geenisettiä, vähän niin kuin Noan arkkiin

ULOS?

HTV-genomi

C

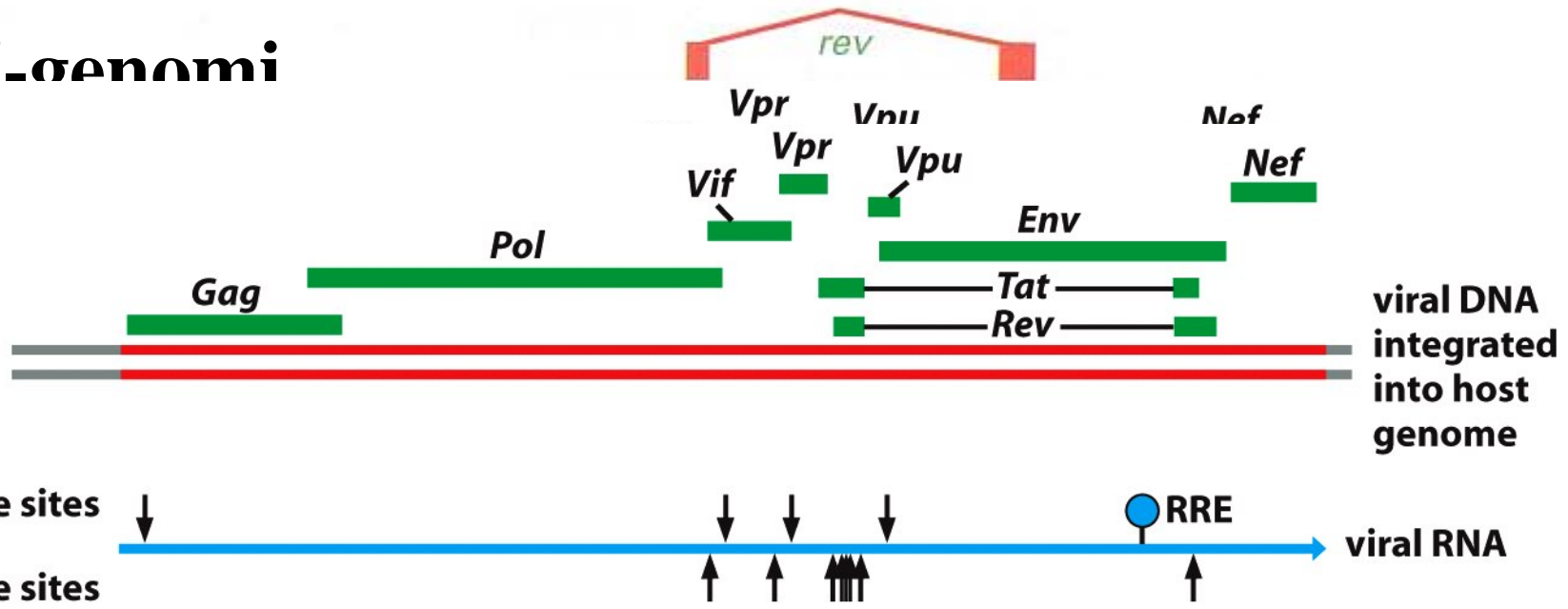


Figure 7-102 Molecular Biology of the Cell 5/e (© Garland Science 2008)

9000 nukleotidia, 9 geeniä, joista *gag*, *pol* ja *env* ovat kaikkien retrovirusten yhteisiä välttämättömyystarvikkeita:

gag kapsidiproteiinit

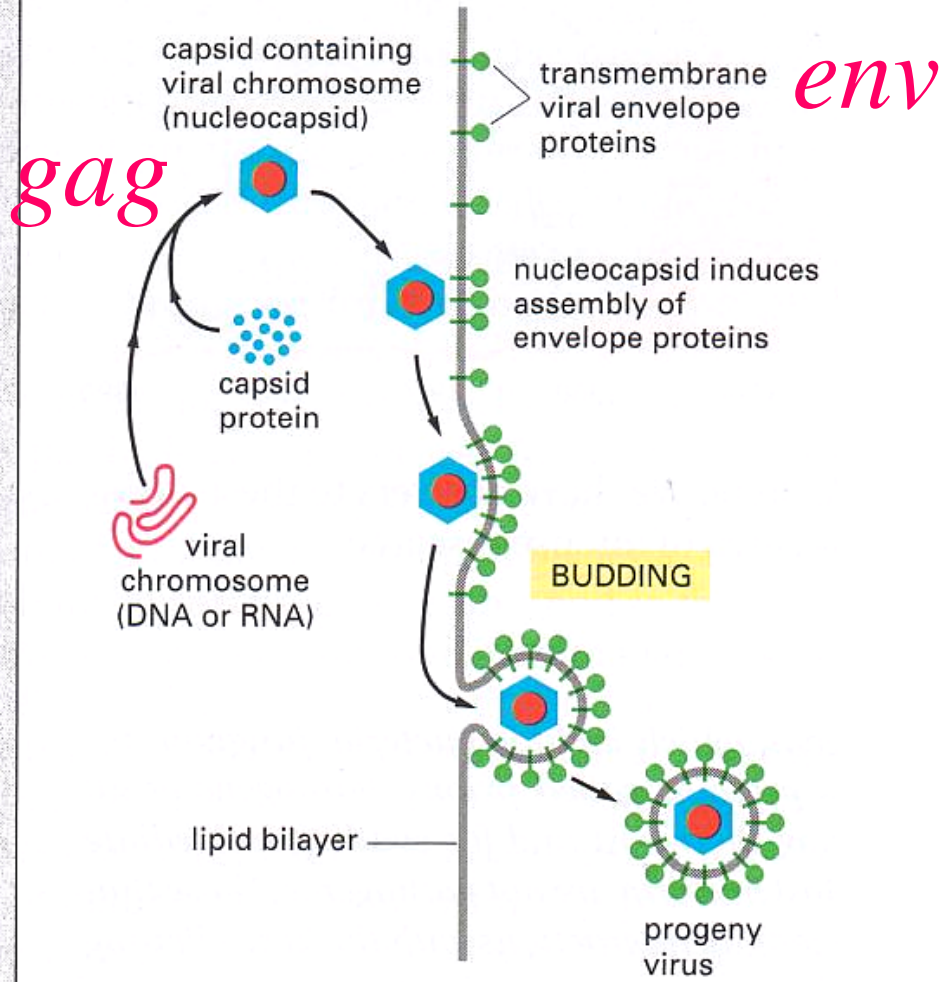
pol käänteistranskriptaasi (RNAsta riippuva DNA-polymeraasi + integraasi; isäntäsolu tuottaa vastinjuosteen korjausmekanismeillaan)

env koteloproteiinit (envelope)



(A)

100 nm



(B)

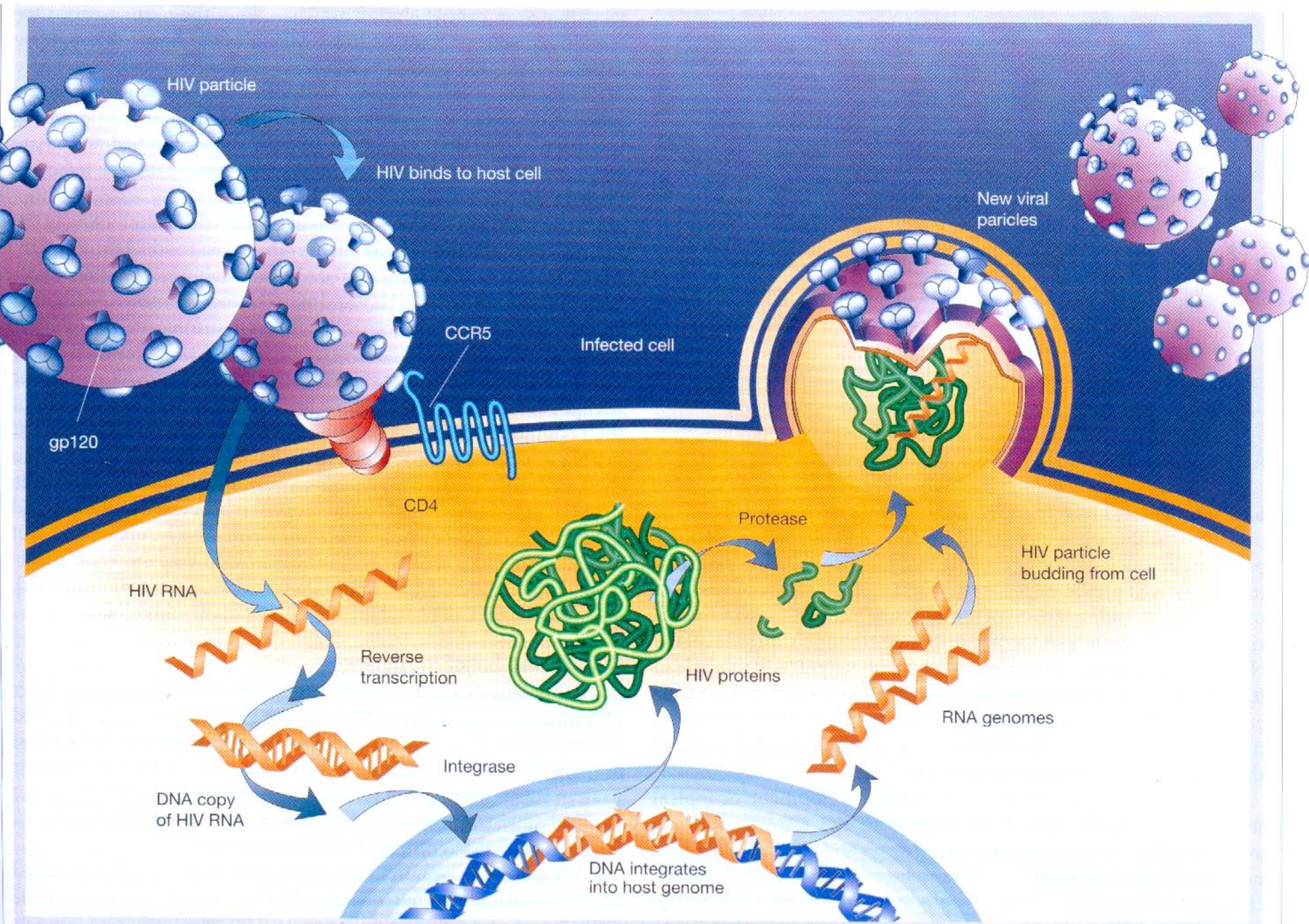
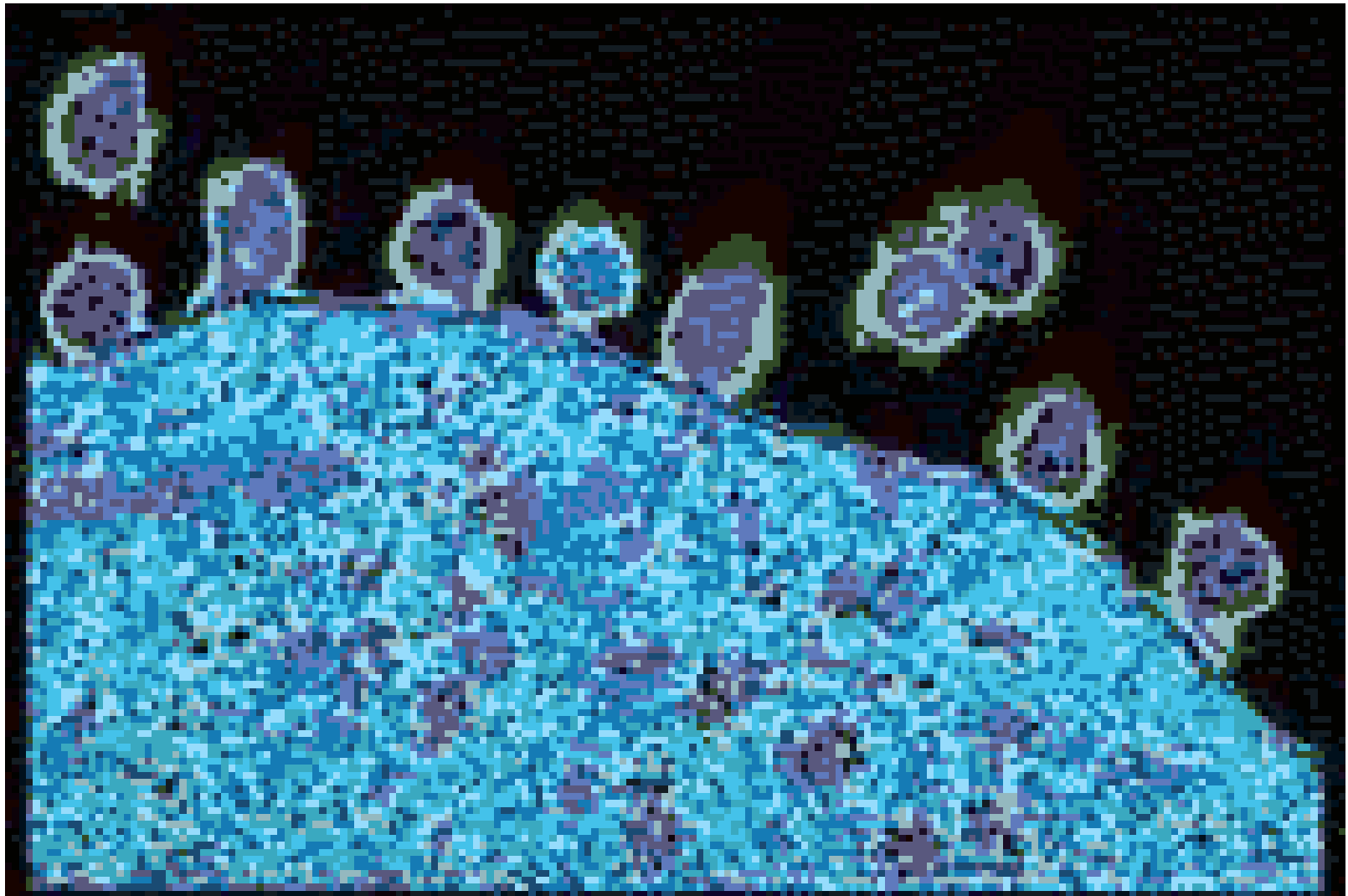
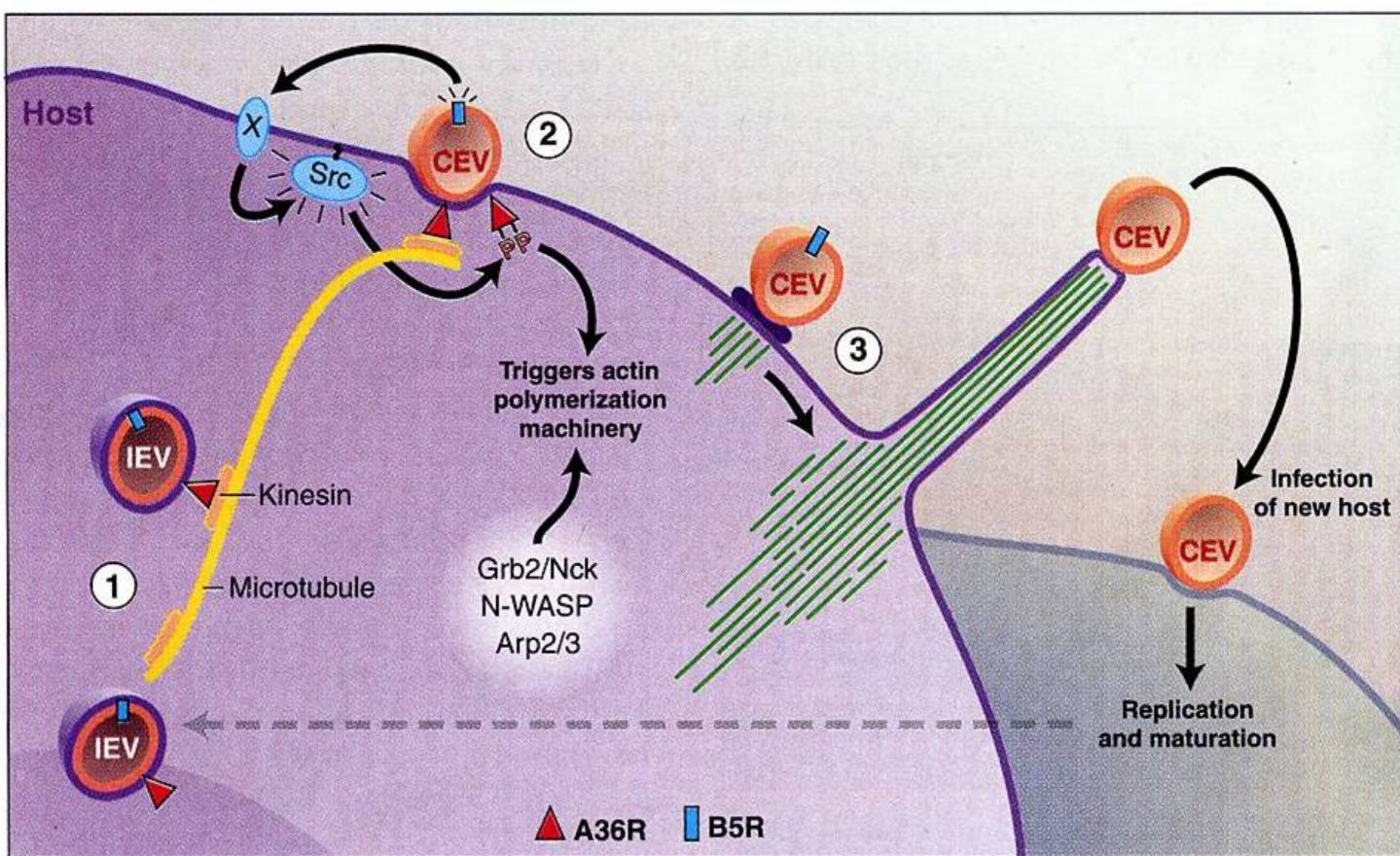


Figure 1 The human immunodeficiency virus. Replication cycle of HIV showing multiple steps available for attack by antiretroviral drugs.

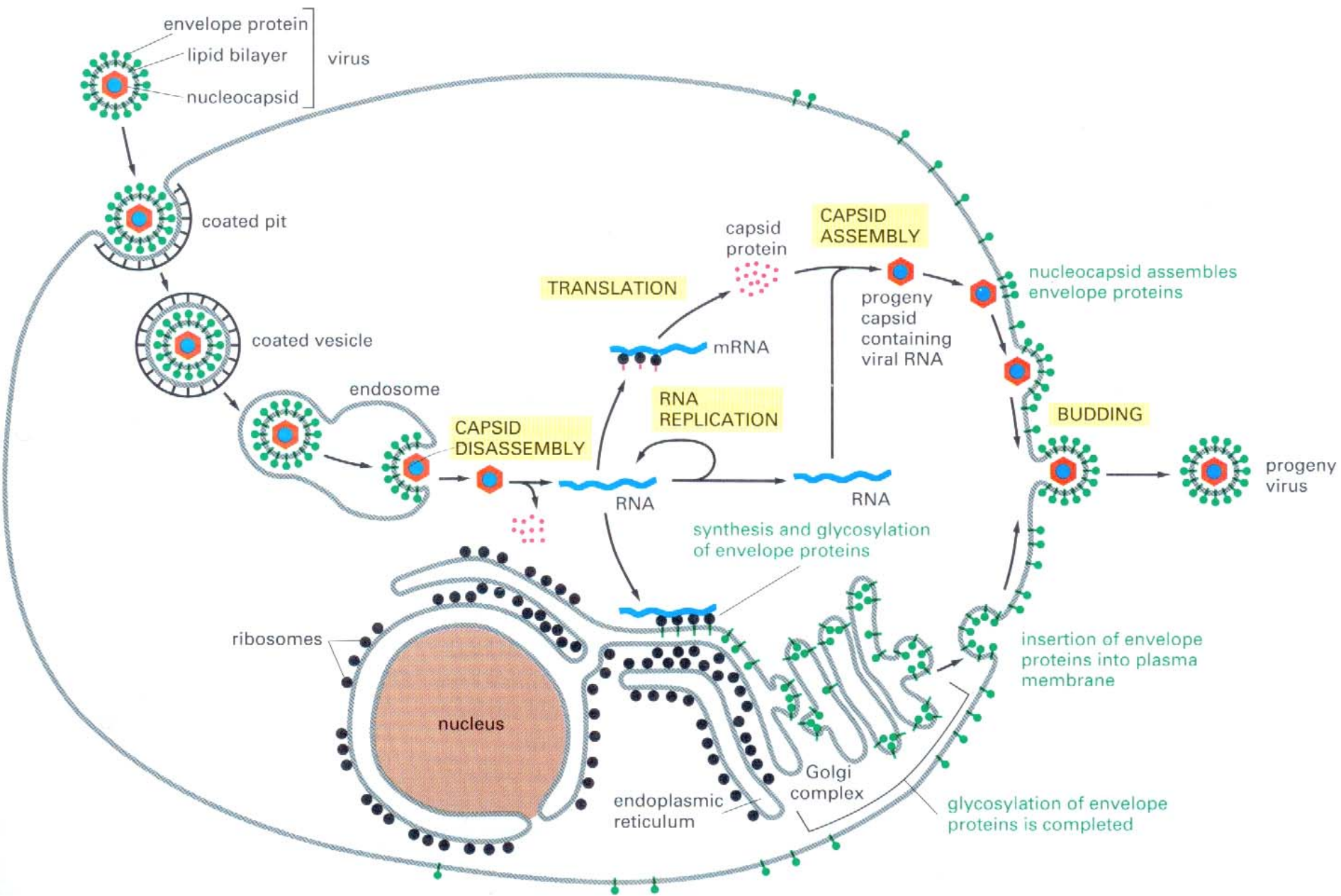


HIV silmikoi. Retrovirus

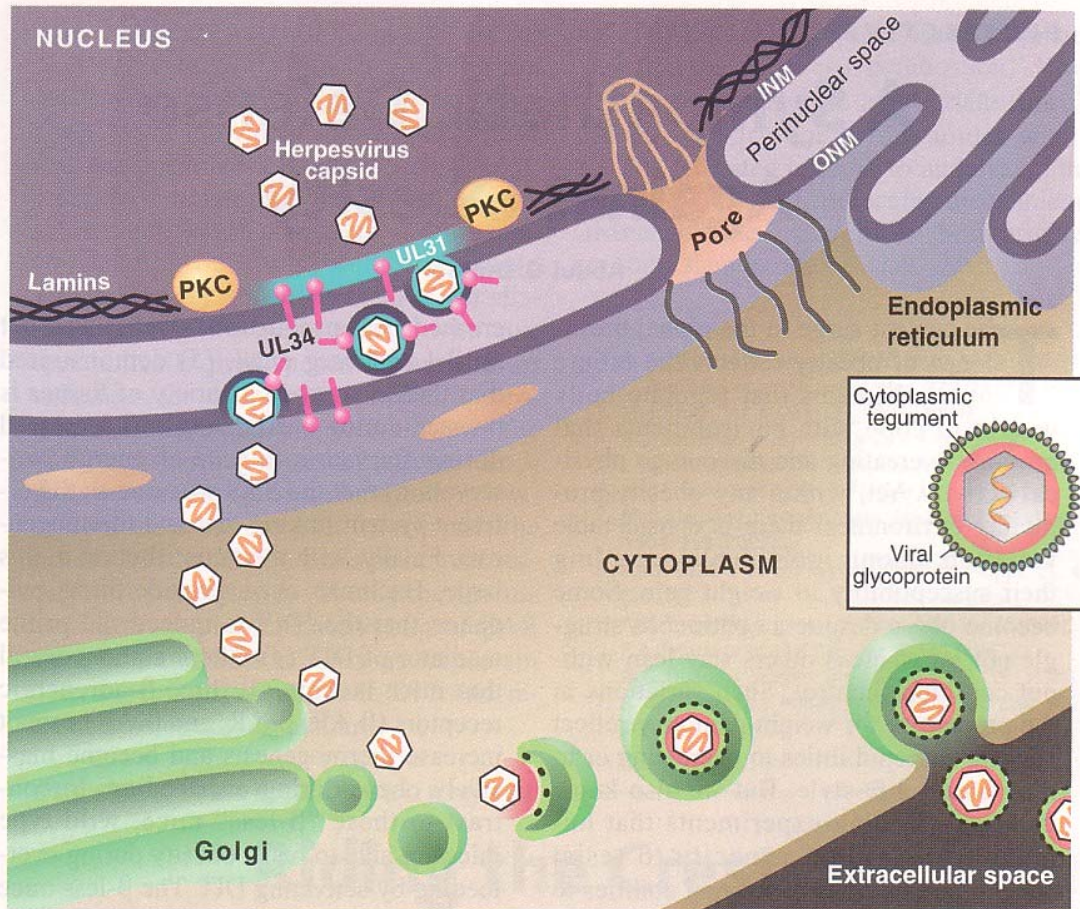
Vaccinia



Switching modes of transport. Vaccinia virus uses Src, a host cell tyrosine kinase, to switch from microtubule-dependent intracellular transport to actin-dependent extracellular extrusion. Step 1: IEV particles, formed in the perinuclear region, interact with kinesin through the viral A36R protein, allowing microtubule-dependent transport (yellow line) to the cell periphery. Step 2: After fusion with the plasma membrane, an infectious CEV is released but remains associated with the extracellular surface of the host. A second viral protein, B5R, interacts with an unknown host cell surface protein (X) to activate the cellular tyrosine kinase Src. Src, in turn, phosphorylates A36R at two sites (PP), triggering its dissociation from kinesin. This leads to recruitment of the host cell's actin polymerization machinery, including two adapter proteins, Nck and Grb2, the scaffold protein N-WASP, and the Arp2/3 nucleation complex. Step 3: Polymerization of actin monomers into filaments (green) drives the formation of a fingerlike protrusion, which launches the CEV of vaccinia virus away from the host cell, facilitating cell-to-cell spread of viral progeny.



Semliki Forest -viruksen elinkierto



The great escape. Newly replicated herpesvirus DNA is inserted into preformed capsids in the nucleus of the host cell. To reach the inner nuclear membrane (INM) of the nuclear envelope, the subviral particles must transit through the physical barrier of the nuclear lamin meshwork. The viral protein UL34 (pink) of HSV-1 (the homolog of M50/p35 in murine CMV) is a type II transmembrane protein that is localized at the INM in infected cells via its interaction with UL31 (turquoise), a viral protein in the nucleus. UL34 and UL31 recruit protein kinase C (PKC) to the nuclear membrane, resulting in an increase in phosphorylation of the lamins. This causes partial disruption of the lamin network, thereby facilitating envelopment of subviral particles at the INM. The particles acquire some of their tegument proteins and a primary envelope by budding through the INM. They then lose their primary envelope as they bud through the outer nuclear membrane (ONM) of the nuclear envelope and are released into the cytoplasm. The DNA-containing capsids move to the Golgi complex, where they acquire additional tegument proteins and a mature envelope. Finally, they travel in Golgi-derived vesicles to the plasma membrane, where they are released from the host cell.

Ollaanko me aivan avuttomia?

Ei, kyllä taistelu on kovaa ja
voittojakin saavutetaan

Immuunisysteemi pääsee joskus
myös solujen sisään
ennättäneiden kimppuun

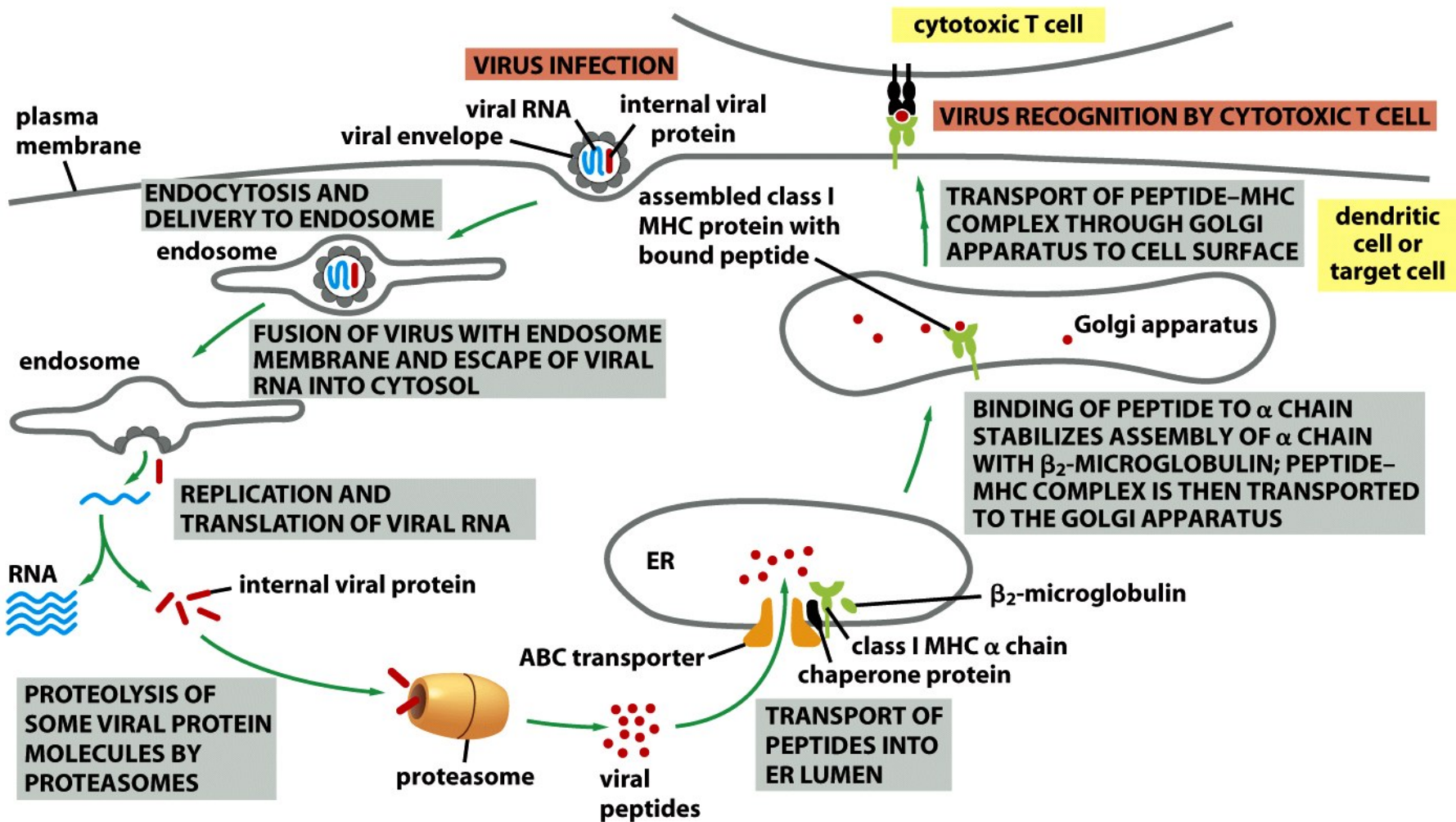


Figure 25-59 Molecular Biology of the Cell 5/e (© Garland Science 2008)

MHC: kuinka virus yms. havaitaan solussa ja kavalletaan sytotoksiselle T-solulle

Kirjassa on valtavasti uutta tietoa bakteeri-infektioiden molekyylibiologiasta, mutta sen hyppäämme yli tässä kurssissa. Nauttikaa niistä tiedoista yksityisesti.

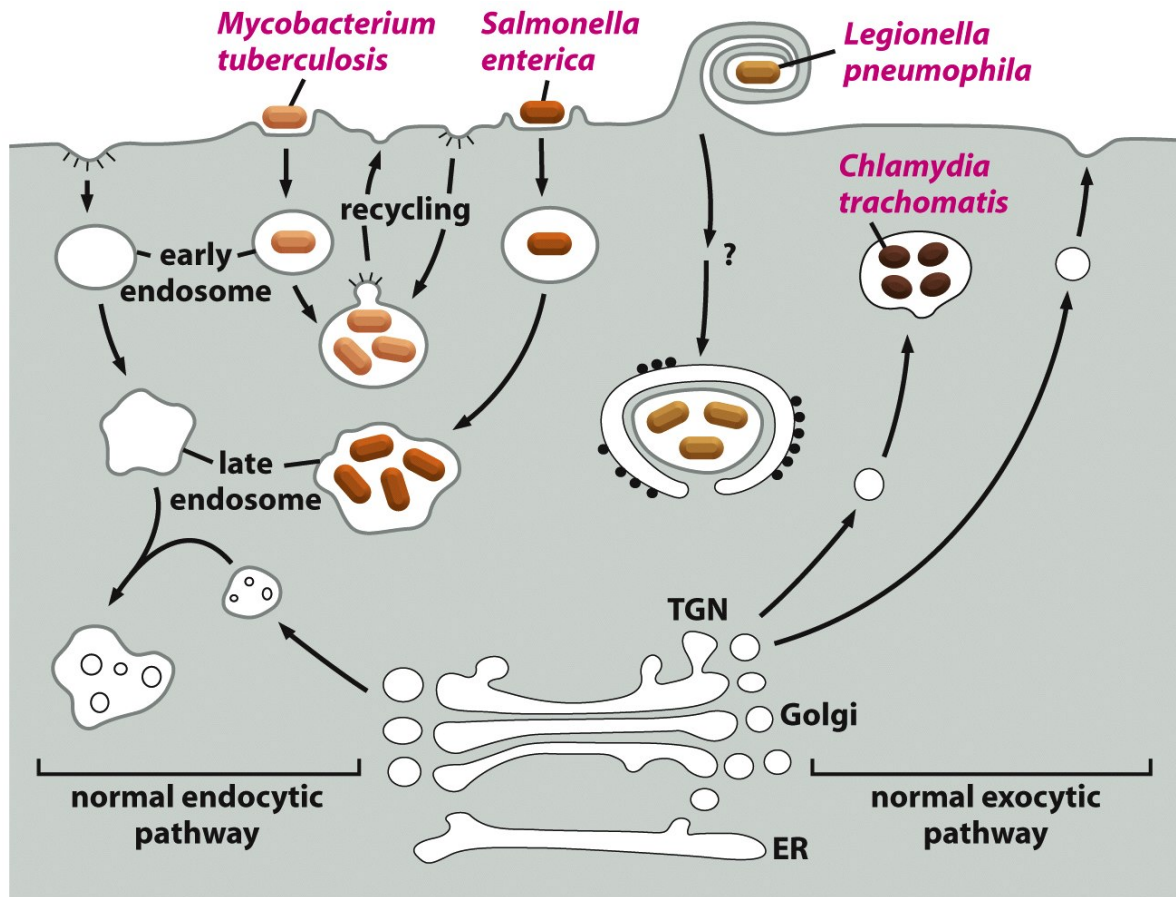


Figure 24-32 Molecular Biology of the Cell 5/e (© Garland Science 2008)